

APL-Journal

A Programming Language

1/2/2014



Urs Oswald

APL, Unicode und UTF-8

Frank Schmidt-Kelletat

**IBM-APL2 und die COM-Schnittstelle von
WORD 2010 unter WINDOWS 7**

Rolf Erbe

Der Huffman-Code

Im Blickpunkt

Urs Oswald

Sudoku mit APL

APL-Germany e.V.

Nr. 1/2 2014 Doppelnummer
Jahrgang 33

ISSN - 1438-4531

RHOMBOS-VERLAG



APL-Journal

33. Jg. 2014, ISSN 1438-4531

Herausgeber: Dr. Reiner Nussbaum, APL-Germany e.V., Mannheim, <http://www.apl-germany.de>

Redaktion: Dipl.-Volksw. Martin Barghoorn (verantw.), TU Berlin, Franklinstr. 28, D-10587 Berlin, Tel. (030) 314 24392, Fax (030) 314 25901

Verlag: RHOMBOS-VERLAG, Berlin, Kurfürstenstr. 15/16, D-10785 Berlin, Tel. (030) 261 9461, eMail: verlag@rhombos.de, Internet: www.rhombos.de

Erscheinungsweise: halbjährlich

Erscheinungsort: Berlin

Satz: Rhombos-Verlag

Druck: dbusiness.de GmbH, Berlin

Copyright: APL Germany e.V. (für alle Beiträge, die als Erstveröffentlichung erscheinen)

Fotonachweis Titelseite: Martin Barghoorn

Die Wiedergabe von Gebrauchsnamen, Handelsnamen, Warenbezeichnungen usw. in diesem Werk berechtigt auch ohne besondere Kennzeichnung nicht zu der Annahme, dass solche Namen im Sinne der Warenzeichen- und Markenschutzgesetzgebung als frei zu betrachten wären und daher von jedermann benutzt werden dürfen. Eine Haftung für die Richtigkeit der veröffentlichten Informationen kann trotz sorgfältiger Prüfung von Herausgeber und Verlag nicht übernommen werden. Mit Namen gekennzeichnete Artikel geben nicht unbedingt die Meinung des Herausgebers oder der Redaktion wieder. Für unverlangte Einsendungen wird keine Haftung übernommen. Nachdruck ist nur mit Zustimmung des Herausgebers sowie mit Quellenangabe und Einsendung eines Beleges gestattet. Überarbeitungen eingesandter Manuskripte liegen im Ermessen der Redaktion.

Liebe APL-Freunde,

es ist mir eine Freude, Ihnen das vorliegende APL-Journal zukommen zu lassen.

Im Jahr 2011 hatten wir zwei Tagungen: Die Frühjahrstagung fand in Köln bei der Deutschen Krankenversicherung (DKV) statt und die Herbsttagung bei der Allianz Deutschland AG in Stuttgart. Den Gastgebern der Veranstaltungen sei an dieser Stelle noch einmal herzlich gedankt.

Viel Vergnügen bei dem Lesen dieser APL-Ausgabe wünscht Ihnen

Ihr Reiner Nussbaum

P.S.: Im Frühjahr 2013 finden bei APL-Germany e.V. Vorstandswahlen statt. Insbesondere für die Positionen Kassenwart und Schriftführer streben die derzeitigen Vorstandsmitglieder eine personelle Neubesetzung an. Interessierte Mitglieder sind aufgerufen, sich für diese Positionen zu engagieren.



INHALT

Urs Oswald

Sudoku mit APL

Das APL-Programm, das hier vorgestellt wird, zeigt, wie ein vorgelegtes Sudoku mit den sieben Regeln E, N, B, T, W, Y, X gelöst werden kann. Der Lösungsweg wird detailliert protokolliert und kann mit Papier und Bleistift nachvollzogen werden. So kann der passionierte Sudoku-Löser überprüfen, ob seine Lösung unnötig kompliziert ist, oder wie er dort weiterkommt, wo er stecken geblieben ist.

APL, Unicode und UTF-8

Nach der Idee von Unicode soll jedem auf der Welt gebräuchlichen Zeichen (englisch: character) eine natürliche Zahl, also eine der Zahlen 0, 1, 2, ... zugeordnet werden. Diese Zahl wird der Codepunkt (englisch: codepoint) des Zeichens genannt. Dabei ist „Zeichen“ im abstrakten Sinne zu verstehen. Zum Beispiel sieht der Großbuchstabe A verschieden aus, je nachdem, ob er in Arial, Courier, Tahoma, Fraktur oder von Hand geschrieben ist; es handelt sich aber immer um ein und dasselbe Zeichen. Unterschiedlich sind nur die Glyphen, mit denen es graphisch dargestellt wird.

Frank Schmidt-Kelletat

IBM-APL2 und die COM-Schnittstelle von WORD 2010 unter WINDOWS 7

Zum Thema IBM-APL2 und die COM-Schnittstelle von WORD 2010 unter WINDOWS 7 gibt es bislang keine dokumentierte Hilfe. Der folgende Beitrag soll ein kleines Fundament schaffen, das Interessierten eine strukturierte Starthilfe an die Hand gibt, die es leichter macht, sich in dieses Thema einzuarbeiten.

Rolf Erbe

Der Huffman-Code

Um einen Text mit möglichst wenigen Bits zu codieren, liegt die Idee nahe, häufig vorkommende Zeichen durch möglichst kurze Codewörter zu codieren. Diese Idee ist auch beim Morse-Code verwirklicht. Problematisch bei Codes mit unterschiedlichen Codewortlängen ist, dass im allgemeinen eine eindeutige Dekodierung von Zeichenfolgen nicht möglich ist: Im Morse-Code könnte beispielsweise die Folge · · · - · · · - sowohl zu usa als auch idea dekodiert werden.

Sudoku mit APL

3

APL, Unicode und UTF-8

29

IBM-APL2 und die COM-Schnittstelle von WORD 2010 unter WINDOWS 7

45

Der Huffman-Code

53

Bildnachweis:
Martin Barghoorn (Umschlagseite 1)

Urs Oswald

Sudoku mit APL

Das APL-Programm, das hier vorgestellt wird, hat nicht zum Ziel, Sudokus möglichst schnell zu lösen. Vielmehr soll es aufzeigen, wie ein vorgelegtes Sudoku mit den sieben Regeln *F, N, B, T, W, Y, X* gelöst werden kann, wie sie in FOWLER [2] dargestellt werden. Der Lösungsweg wird detailliert protokolliert und kann mit Papier und Bleistift nachvollzogen werden. So kann der passionierte Sudoku-Löser überprüfen, ob seine Lösung unnötig kompliziert ist, oder wie er dort weiterkommt, wo er steckengeblieben ist. Allerdings reichen diese sieben Regeln nicht immer aus. Sudokus, bei welchen man mit diesen Regeln durchkommt, nennt FOWLER [2] *constrained*. Nicht alle, aber die meisten der publizierten Sudokus sind von dieser Art. Mit einem *rekursiven* Programm, welches mit *backtracking* arbeitet, lassen sich alle Sudokus lösen. Solche Programme haben den Charakter einer *blackbox*. Sie geben keine Anleitung, wie man allein mit Papier und Bleistift vorgehen könnte. Sie stützen sich auf systematisches Durchprobieren aller Möglichkeiten, was theoretisch auch allein mit Papier und Bleistift möglich, aber mühselig und langweilig ist.

Der APL-WS `APLSUDO` enthält gut 100 APL-Funktionen, welche der guten Ordnung halber sämtliche in OSWALD [4] in alphabetischer und in OSWALD [5] in Aufruf-Ordnung dokumentiert sind. Der WS ist in APL+Win von APL2000 programmiert. Um die Portabilität zu erhöhen, habe ich auf Kontrollstrukturen und die proprietären `ASMFNS`-Funktionen verzichtet, ebenso auf Systemfunktionen, welche nicht in IBM-APL2 vorkommen. Der WS ist als Komponentenfile gespeichert. Er kann von jeder Version von APL+Win eingelesen und aktiviert werden. Einzelheiten gebe ich auf Anfrage gerne bekannt. Es sollte wohl auch möglich sein, die Funktionen zu portieren, z.B. in IBM-APL2 oder Dyalog APL.

Die sieben Regeln bewirken „*constraint propagation*“, d.h. die fortgesetzte

Einschränkung einer Kandidatenliste, so wie man es beim Lösen mit Papier und Bleistift gewohnt ist. Sie setzen nicht voraus, dass es sich um ein eigentliches Sudoku handelt. Sie funktionieren auch im Falle von *Pseudo-Sudokus*, welche wie Sudokus aussehen, aber möglicherweise keine oder aber mehr als eine Vervollständigung haben. Bei unlösbaren Pseudo-Sudokus führt die fortgesetzte Einschränkung zu einer leeren Zelle ohne übrigbleibende Kandidaten. Ist das Pseudo-Sudoku mehrdeutig, so endet die fortgesetzte Einschränkung vorzeitig in einem Stillstand, wo keine der Regeln zu einer weiteren Einschränkung führt. Ein rekursives Programm führt in diesem Fall jedoch weiter und liefert alle möglichen Vervollständigungen. In OSWALD [3] werden die Regeln anhand vieler Beispiele erläutert.

Sowohl das nachfolgende rekursive Programm `rek_prim` als auch das weiter unten beschriebene Programm `CPROP_FNBWYX` arbeiten mit einer Kandidatenliste in boolescher Form (BKL). BKL ist ein boolescher Würfel; `B[i;;]` hält fest, in welchen Zellen der Kandidat `i` vorkommt.

`CPROP_FNBWYX` arbeitet analog zum Lösungsvorgang mit Papier und Bleistift. Es führt parallel zueinander das schon teilweise ergänzte Sudoku (nm: numerische Matrix) und die Kandidatenliste in boolescher Form.

2 Ein rekursives Programm vorweg

Zunächst erlaubt es das relativ kurze, rekursive Programm `rek_prim`, beliebige Sudokus zu lösen (mindestens theoretisch). Darüberhinaus liefert es bei Pseudo-Sudokus sämtliche Vervollständigungen. Zur Erinnerung: Unter einem Pseudo-Sudoku verstehen wir etwas, das wie ein Sudoku aussieht, aber keine oder aber mehr als eine Vervollständigung hat. In den folgenden Beispielen bedeutet dabei die erste Zahl unter dem Aufruf immer die Anzahl der Vervollständigungen. Die Zahl darunter ist

die auf Sekunden gerundete Laufzeit des Programms.

Sudokus werden normalerweise mit dem Programm `zeig` wiedergegeben. Anschließend an das Sudoku folgen drei Einsen, welche bestätigen, dass die Block-, Zeilen- und Spaltenbedingungen (jede Ziffer höchstens einmal) erfüllt sind, und eine vierte Zahl, welche die Anzahl der Vorgaben wiedergibt.

```

t0←sec ◇ pv←rek_prim Δsdk9_ta_170810 ◇ sec-t0
1
0
      zeig Δsdk9_ta_170810 (1>v)
2 0 0 | 0 0 0 | 0 0 7      2 9 1 | 3 4 5 | 8 6 7
0 4 0 | 6 0 8 | 0 9 0      7 4 5 | 6 2 8 | 3 9 1
0 0 0 | 1 0 9 | 0 0 0      3 6 8 | 1 7 9 | 4 2 5
-----
0 8 3 | 0 0 0 | 7 4 0      6 8 3 | 5 9 1 | 7 4 2
0 0 0 | 0 0 0 | 0 0 0      5 2 4 | 7 3 6 | 1 8 9
0 7 9 | 0 0 0 | 6 5 0      1 7 9 | 4 8 2 | 6 5 3
-----
0 0 0 | 9 0 4 | 0 0 0      8 3 2 | 9 1 4 | 5 7 6
0 5 0 | 8 0 3 | 0 1 0      9 5 7 | 8 6 3 | 2 1 4
4 0 0 | 0 0 0 | 0 0 8      4 1 6 | 2 5 7 | 9 3 8
1 1 1 24      1 1 1 81

```

Es gibt genau eine Vervollständigung. (Also liegt wirklich ein Sudoku vor.) Die gerundete Laufzeit beträgt 0 Sekunden, und das

gegebene Sudoku hat 24 Vorgaben. Die Zahl 81 unter dem Sudoku rechts zeigt an, dass die Vervollständigung gelungen ist.

```

t0←sec ◇ pv←rek_prim Δsdk9_viel85 ◇ sec-t0
85
15
    zeig“(Δsdk9_viel85),2↑v
0 0 0 | 0 0 0 | 0 0 0    9 2 8 | 6 5 4 | 7 1 3    9 2 8 | 6 5 4 | 7 1 3
0 0 3 | 0 9 0 | 6 4 0    7 5 3 | 2 9 1 | 6 4 8    7 5 3 | 2 9 1 | 6 4 8
0 1 0 | 7 0 8 | 0 2 0    6 1 4 | 7 3 8 | 5 2 9    6 1 4 | 7 3 8 | 5 2 9
-----
0 0 9 | 0 0 0 | 4 0 0    2 3 9 | 1 8 6 | 4 7 5    2 7 9 | 1 8 3 | 4 6 5
0 8 0 | 4 0 5 | 0 9 0    1 8 6 | 4 7 5 | 3 9 2    1 8 6 | 4 7 5 | 3 9 2
0 0 5 | 0 0 0 | 8 0 0    4 7 5 | 9 2 3 | 8 6 1    4 3 5 | 9 2 6 | 8 7 1
-----
0 6 0 | 8 0 2 | 0 5 0    3 6 7 | 8 1 2 | 9 5 4    3 6 7 | 8 1 2 | 9 5 4
0 4 1 | 0 6 0 | 2 3 0    8 4 1 | 5 6 9 | 2 3 7    8 4 1 | 5 6 9 | 2 3 7
0 0 0 | 0 0 0 | 0 0 0    5 9 2 | 3 4 7 | 1 8 6    5 9 2 | 3 4 7 | 1 8 6
1 1 1 25    1 1 1 81    1 1 1 81

```

Hier erfordert das Programm 15 Sekunden. Das gegebene Pseudo-Sudoku hat 25 Vorgaben und genau 85 Vervollständigungen. Mit `rek_prim` können auch 4×4-Pseudo-Sudokus vervollständigt werden:

```

t0←sec ◇ pv←rek_prim 4 4↑2 2ρ1 2 3 4 ◇ sec-t0
12
0
    2 6pv
1 2 3 4    1 2 3 4    1 2 3 4    1 2 3 4    1 2 3 4    1 2 3 4
3 4 1 2    3 4 1 2    3 4 1 2    3 4 1 2    3 4 2 1    3 4 2 1
2 1 4 3    2 3 4 1    4 1 2 3    4 3 2 1    2 1 4 3    4 3 1 2
4 3 2 1    4 1 2 3    2 3 4 1    2 1 4 3    4 3 1 2    2 1 4 3

1 2 4 3    1 2 4 3    1 2 4 3    1 2 4 3    1 2 4 3    1 2 4 3
3 4 1 2    3 4 1 2    3 4 2 1    3 4 2 1    3 4 2 1    3 4 2 1
2 1 3 4    4 3 2 1    2 1 3 4    2 3 1 4    4 1 3 2    4 3 1 2
4 3 2 1    2 1 3 4    4 3 1 2    4 1 3 2    2 3 1 4    2 1 3 4

```

Das 4×4-Pseudo-Sudoku mit dem oberen linken Block $2 \ 2 \ \rho \ 1 \ 2 \ 3 \ 4$ hat genau 12 Vervollständigungen. Eine theoretische Herleitung dieses Sachverhalts findet man in FELGENHAUER/JARVIS[1] oder OSWALD[3]:

```

t0←sec ◇ pv←rek_prim 4 4ρ0 ◇ sec-t0
288
1

```

Das leere 4×4-Pseudo-Sudoku hat genau 288 Vervollständigungen; mit anderen Worten gibt es genau 288 vollständige 4×4-Sudokus. Siehe dazu FELGENHAUER/JARVIS[1] oder OSWALD[3]. Das sind 24 Mal so viele Lösungen wie beim vorgängigen Beispiel. 24 ist die Anzahl der Permutationen der Zahlen 1 bis 4. Das Programm `rek_prim` braucht zur Lösung 1 Sekunde.

Wenn wir dasselbe mit dem leeren 9×9-Sudoku versuchen würden, hätten wir keine Chancen. Das Programm müsste nicht 288, sondern nach FELGENHAUER/JARVIS[1] 6 670 903 752 021 072 936 960 Vervollständigungen erzeugen. Das Programm `rek_prim` erzeugt theoretisch zu jedem Pseudo-Sudoku die Menge aller Vervollständigungen. Praktisch sind ihm aber Grenzen gesetzt, die möglicherweise von einer Beschränkung der Rekursionstiefe herrühren. Man erhält jedoch ein sehr leistungsfähiges Programm, wenn man `rek_prim` mit einigen der 7 erwähnten Regeln kombiniert. Wir kommen darauf in Abschnitt 5 zurück. Anschließend folgt das Programm `rek prim` mit seinen Unterprogrammen sowie das Programm `zeig`.

```

[0] v_nm←rek_prim nm;side;a;min;Report;c;r;BKL;w;N;L;I;nmi;cc
[1] A-----
[2] A   lv: Pseudosudoku-Name
[3] A v_nm: alle Vervollständigungen
[4] A-----
[5] Report←0
[6] v_nm←10
[7] →(¬/konformZSB nm)/0          A Zeilen-/Spalten-/Block-Bedingung?
[8] →(¬/ ,nm>0)/L_0              A noch nicht vollständig?
[9] v_nm←v_nm, cnm ◇ →0          A vollständig: Lösung hinzufügen
[10] L_0:
[11] side←↑pnm ◇ BKL←genBKL nm
[12] a←,+/[1]BKL                  A   a: Kandidatenzahlen
[13] min←1/a~0                    A   min: minimale (ausser 0)
[14] (c r)←1+(side,side)↑1+a↑min A (c r): "row,column" erste Zelle mit
[15]                                A   dieser minimalen Kandidatenzahl
[16] cc←w/↑pw←BKL[c;r]           A   cc: Kandidaten in dieser Zelle
[17] N←pcc ◇ →(N=0)/0
[18] L←(NpLOOP),0 ◇ I←1
[19] LOOP:
[20] nmi←nm                        A Kandidaten einen nach dem andern
[21] nmi[c;r]←I◇cc                A in (c,r) einsetzen
[22] v_nm←v_nm, rek_prim nmi      A rekursiver Aufruf ("back tracking")
[23] →L[I+I+1]

[0] b3←konformZSB nm;w;u;side
[1] A-----
[2] A prüft, ob pro Block/Zeile/Spalte jede Ziffer höchstens einmal vorkommt
[3] A b3[1]: Zeilen ZSB-konform?
[4] A   [2]: Spalten ZSB-konform?
[5] A   [3]: Bloecke ZSB-konform?
[6] A-----
[7] side←↑pnm
[8] b3←3p0
[9] b3[1]←¬/ ,>side pruefe" c[2]nm          A Zeilen
[10] b3[2]←¬/ ,>side pruefe" c[2]nm          A Spalten
[11] b3[3]←¬/ ,>side pruefe" c[2]bloeckeZUzeilen nm A Bloecke

[0] bs←pruefe nv
[1] A-----
[2] A prüft, ob in nv jede Ziffer≠0 höchstens einmal vorkommt
[3] A l: side
[4] A-----
[5] bs←(p nv~0)←+/ (lside)∈nv

[0] bm3D←genBKL nm;side;N;L;I;bm;w
[1] A-----
[2] A   nm: Sudoku (numerisch)
[3] A bm3D: BKL (boolesche Kandidatenliste)
[4] A-----
[5] side←1>pnm ◇ bm3D←(3p side)p0 ◇ N←side ◇ L←(NpLOOP),L_ENDE ◇ I←1
[6] LOOP:
[7] bm←nm=0
[8] bm←bm^(¬v/nm=I)°.¬~v/[1]nm=I          A Zeilen u. Spalten
[9] A Blöcke (werden vorübergehend in Zeilen verwandelt)
[10] bm←bm^bloeckeZUzeilen(¬v/I=bloeckeZUzeilen nm)°.+sidep0          A Blöcke
[11] bm3D[I;;]←bm ◇ →L[I+I+1]
[12] L_ENDE:

[0] nm←bloeckeZUzeilen nm;w;base
[1] A-----
[2] A verwandelt Blöcke in Zeilen, ist identisch mit seiner Umkehrung
[3] A nm: quadratische Matrix
[4] A-----
[5] base←1 2 3[1 4 9]↑pnm ◇ nm←, , " " (base/↑base) c[1] (base/↑base) c[2] nm

[0] lm←zeig nm;e;nm;ss;w;base
[1] A-----
[2] A für 4×4 und 9×9
[3] A-----
[4] lm←1 0pnm
[5] base←1 2 3[1 4 9]↑pnm ◇ e←(¬1+base×1+base)p(basep1),0 ◇ lm←e\1]e\lm
[6] ss←(base+1)×↑base-1 ◇ lm[;ss]←' '
[7] w←(plm)[2] ◇ e←(¬1+w+w)p1 0 ◇ lm←e\lm ◇ lm[ss;]←'-'
[8] lm←(0 5+plm)↑lm ◇ lm←lm,[1](1+plm)↑p(konformZSB nm),+/,0<nm

```


3 Die sieben Regeln des fortgesetzten Einschränkens

Die sieben Arten des fortgesetzten Einschränkens sind:

- F In einer bestimmten Zelle ist nur eine Ziffer möglich (F: "Field")
 N In einem Block/einer Zeile/einer Spalte ist eine Ziffer nur in einer einzigen Zelle möglich (N: "only")

- B Block-Zeile-und-Block-Spalt-Koppelung
 T Offene und versteckte Tupel (T: "Tupel")
 X X-Ketten (Einkandidaten-Ketten)
 Y Y-Ketten (Paarketten)
 W W-Muster (x-wing, swordfish)

3.1 Regel F

	2	3		9		6	4	
	1		7		8		2	
		9		8		4		5
	8		4		5		9	
4		5				8		
	6		8		2		5	
	4	1		6		2	3	

sdk 1

 $= F \Rightarrow$

	2	3		9	①	6	4	
	1		7		8		2	
		9		8		4		5
	8		4		5		9	
4		5				8		
	6	⑦	8		2		5	
	4	1		6		2	3	

sdk 2

- In Zelle (2,6) ist nur eine Ziffer möglich, nämlich 1.
- In Zelle (7,3) ist nur eine Ziffer möglich, nämlich 7.

3.2 Regel N - N_B , N_R , N_C

	1	2	8	4				
	9	3				4		
	4				3			
1				3	4			
	5					1	3	4
			1	7				9
			6				2	
		1	3			7	4	
			4		5	8	1	

sdk 3

 $= N_B \Rightarrow$

	1	2	8	4				
	9	3				4		
	4				3			
1			⑤	3	4			
	5					1	3	4
			1	7				9
			6		⑦	⑨	2	
		1	3			7	4	
			4		5	8	1	

sdk 4

- (N_B) In Block $B_{2,2}$ (Mitte) ist die Ziffer 5 nur in der Zelle (4,4) möglich.
- (N_B) In Block $B_{3,2}$ ist die Ziffer 7 nur in der Zelle (7,6) möglich.
- (N_B) In Block $B_{3,3}$ ist die Ziffer 9 nur in der Zelle (7,7) möglich.

				4	8	9		
	8	4	2			5	1	
	9		3			2	8	4
9						6	4	
	4	5				7		
	3	8			4	1		2
4	6				1	8	2	
8	2		4		5	3		
		9	8	2	4			

sdk 5

 $= N_R \Rightarrow$

				4	8	9		
	8	4	2			5	1	
	9		3			2	8	4
9						6	4	
	4	5				7		
	3	8			4	1		2
4	6				1	8	2	⑤
8	2		4		5	3		
		9	8	2	4			

sdk 6

- (N_R) In Zeile 7 ist die Ziffer 5 nur in der letzten Spalte möglich.

					1	2		3
	4			5			7	
								6
1					7			
	8						9	
			3					2
5		8					2	
				9			8	
3		2	6					

sdk 7

 $= N_C \Rightarrow$

					1	2		3
	4			5			7	
								6
1					7		③	
	8						9	
			3					2
5		8					2	
				9			8	
3		2	6					

sdk 8

- (N_C) In Spalte 8 ist die Ziffer 3 nur in der 4. Zeile möglich.

Bemerkung. Diese vier Beispiele zeigen, dass die Regeln F , N_B , N_R und N_C voneinander unabhängig sind. Denn in jedem Fall führt jeweils von diesen Regeln nur die angegebene weiter.

3.3 Regel B

Die Regel B zerfällt in die 4 Subregeln $B \succ R$, $B \succ C$, $R \succ B$ und $C \succ B$. Im Bild rechts werden $B \succ R$ und $R \succ B$ erläutert (bezogen auf einen bestimmten Kandidaten). Die Kreuze bedeuten, dass der Kandidat in jenen Zellen nicht vorkommt.

Ist nun zum Beispiel der Kandidat in der 6. Zeile auf den mittleren Block beschränkt, so kann er in diesem Block sonst nicht vorkommen. Ist er umgekehrt im Block auf die 6. Zeile beschränkt, so kann er in dieser Zeile nur innerhalb dieses Blocks vorkommen. Analog wirken die Regeln $B \succ C$ und $C \succ B$.

			X	X	X			
			X	X	X			
X	X	X				X	X	X

sdk 9

- Regel $B \succ R$ Wenn innerhalb eines Blocks ein Kandidat auf eine einzige Zeile beschränkt ist, kann dieser Kandidat außerhalb des Blocks in dieser Zeile gestrichen werden.
- Regel $B \succ C$ Wenn innerhalb eines Blocks ein Kandidat auf eine einzige Spalte beschränkt ist, kann dieser Kandidat außerhalb des Blocks in dieser Spalte gestrichen werden.
- Regel $R \succ B$ Wenn innerhalb einer Zeile ein Kandidat auf einen einzigen Block beschränkt ist, kann dieser Kandidat außerhalb der Zeile in diesem Block gestrichen werden.
- Regel $C \succ B$ Wenn innerhalb einer Spalte ein Kandidat auf einen einzigen Block beschränkt ist, kann dieser Kandidat außerhalb der Spalte in diesem Block gestrichen werden.

Die folgenden Beispiele zeigen Sudokus, welche fast allein mit den Regeln F und N gelöst werden können. Pro Beispiel muss

jeweils eine der vier Subregeln $B \succ R$, $B \succ C$, $R \succ B$ und $C \succ B$ angewendet werden.

Beispiel (Regel B \succ R)

	9				8	1	6	
		1	7			9	2	
2								3
3		8	4		1	5		6
	4	9	8			2	3	
6					7	8		4
8			6	4				9
				7	2	6		
	6	7	1	8			5	2

sdk 10

4 5 7	9	4 5 3	2 3 5	2 3 5	8	1	6	7 5
4 5	5 8 3	1	7	5 6 3 4 5 6	9	2	5 8	
2	5 8 7	6	5 9	1	5 9 4	4	4 8 7	3
3	7	8	4	2 9	1	5	7 9	6
1 5 7	4	9	8	5 6	5 6	2	3	1 7
6	1 2 5	2 5	2 3 5 9	2 3 5 9	7	8	1 9	4
8	1 2 3 5	2 3 5	6	4	5 3	3 1 7		9
1 4 5 9	1 5 3 4 5	3 4 5	5 9	7	2	6	1 4 8	1 8
4 9	6	7	1	8	3 9	4 3	5	2

sdk 11

Durch zweimalige Anwendung der Regel N_B erhält man das rechte Sudoku aus dem linken. Nun ist im Block $B_{1,3}$ der Kandidat 4 auf Zeile 3 beschränkt. Deshalb kann nach Regel B \succ R Kandidat 4 in Zelle (3, 6) gestrichen werden. Nun kann nach Regel N_B 4 in die Zelle (2, 6) gesetzt werden.

Zur Vervollständigung genügt jetzt Regel F. In diesem Beispiel ist eine Kandidatenliste nicht nötig.

In vielen Fällen führen die Regeln B \succ R und B \succ C zusammen mit den Regeln F und N direkt zu einer neuen besetzten Zelle.

Beispiel (Regel C \succ B)

		3				8		
					1			
6				7				5
2	7		3		8			
		1		2		4		
			6		4		7	9
3				8				7
			4					
		2	5			1		

sdk 12

7	1 2 4 5	3	2 9 4 5 6	6 8 9	8	1 2 4 6	1 2 4 6
4 5 8	2 8 4 5	5 8 9	2 9 4 5 6	1	7	2 3 4 6	2 3 4 6
6	1 2 4	8 9	2 9 8 9	7	3 9	1 2 3 4	5
2	7	4	3	9	8	5 6	1 5 6
9	6	1	7	2	5	4	3 8
5 8	3	5 8	6	1	4	2	7 9
3	4 5 9	6	1	8	2 9	5 9	4 5 9
1	5 8 9	7	4	3 6	2 3 6 9	3 5 6 9	2 3 8 6
4 8	4 8 9	2	5	3 6	7	1	4 6 8 9

sdk 13

Wiederum erhält man das rechte Sudoku mit den Regeln F und N aus dem linken. Nun ist der Kandidat 9 in Spalte 3 auf den Block $B_{1,1}$ beschränkt. Deshalb kann nach Regel C \triangleright B der Kandidat 9 im Rest des

Blocks gestrichen werden. In der Spalte 4 sind beide Kandidaten 2 und 9 auf Block $B_{1,2}$ beschränkt und können deshalb in den Zellen (1, 6) und (3, 6) gestrichen werden.

3.4 Regel T

Offene und versteckte Tupel

oT-2 {2, 8} offenes 2-Tupel
hT-4 {3, 4, 7, 9} verstecktes 4-Tupel

In Zeile 4 tritt ein offenes Tupel auf: In den Zellen (4, 2) und (4, 6) kommen nur die Kandidaten 2 und 8 vor. Das hat automatisch zur Folge, dass die übrigen Kandidaten, 3, 4, 7 und 9, nur in den übrigen Zellen vorkommen und in diesen ein *verstecktes* (*hidden*) *Quadrupel* bilden. Offene und versteckte Tupel treten immer gemeinsam auf, aber ein verstecktes Paar ist unter Umständen leichter zu entdecken als ein offenes Quadrupel.

In der Folge können die Kandidaten 2 und 8 außerhalb der Zellen (4, 2) und (4, 6) gestrichen werden.

5	² 8	1	⁴ 3	3	3	2	6	³ 3
			7	7	9	8	7	9

sdk 14

OffeneTupel. Wenn in n unbesetzten Zellen eines Blocks (einer Zeile, einer Spalte) nur gerade n verschiedene Kandidaten auftreten, so sagt man, in diesem Block (in dieser Zeile, in dieser Spalte) liege ein offenes n-Tupel vor.

Regel T. Wenn in n unbesetzten Zellen eines Blocks (einer Zeile, einer Spalte) nur gerade n verschiedene Kandidaten auftreten, so können diese Kandidaten in den übrigen unbesetzten Zellen dieses Blocks (dieser Zeile, dieser Spalte) gestrichen werden.

3.5 Regel W

X-Wing Swordfish

Das Schema rechts hat "dualen Charakter", d.h. es kann in zwei Richtungen gelesen werden. Die Kreuze bedeuten, dass dort der betreffende Kandidat nicht vorkommt.

Ist auf den Zeilen 2, 5 und 8 der Kandidat auf die Spalten 3, 5 und 9 beschränkt, so kann er in diesen Spalten außerhalb der genannten Zeilen gestrichen werden.

Dual: Ist in den Spalten 3, 5 und 9 der Kandidat auf die Zeilen 2, 5 und 8 beschränkt, so kann er in diesen Zeilen außerhalb der genannten Spalten gestrichen werden.

X-Wing (5) Spalten 5, 9 / Zeilen 3, 7

In den Spalten 5 und 9 ist der Kandidat 5 auf die Zeilen 3 und 7 beschränkt. Auf diesen Zeilen kann deshalb der Kandidat außerhalb der Spalten 5 und 9 gestrichen werden.

		X		X				X
X	X		X		X	X	X	
		X		X				X
		X		X				X
X	X		X		X	X	X	
		X		X				X
		X		X				X
X	X		X		X	X	X	
		X		X				X

sdk 15

2	¹	7	¹ ₅	4	¹ ₃	6	⁵ ₉	8
4	3	5	9	6	8	7	1	2
¹ ₉	6	8	7	² ₅	¹ ₂ ³	³ ₉	⁴ ₉	⁴ ₉
5	4	1	6	3	9	2	8	7
6	7	2	¹ ₄	8	¹ ₄	⁵ ₉	⁵ ₉	3
3	8	9	2	7	5	4	6	1
¹ ₉	¹ ₂ ² ₉	⁴ ₃	⁴ ₈	² ₉	6	³ ₈	7	⁵ ₉
8	5	6	3	² ₉	7	1	⁴ ₉	⁴ ₉
7	² ₉	⁴ ₃	⁴ ₅ ⁸	1	² ₄	³ ₅ ^{8 ⁹}	² ₅ ^{3 ⁹}	6

sdk 16

Regel W. Ist ein Kandidat auf n Zeilen auf n Spalten beschränkt, so kann er in diesen Spalten außerhalb der betreffenden Zeilen gestrichen werden. Analoges gilt beim Vertauschen von "Zeilen" und "Spalten".

Swordfish (9)**Zeilen 1, 5, 9**

In den Zeilen 1, 5, 9 ist der Kandidat 9 auf die Spalten 2, 7 und 8 beschränkt. Deshalb kann der Kandidat in diesen Spalten außerhalb der Zeilen 1, 5, 9 gestrichen werden.

2	¹	7	¹	5	4	¹	3	6	⁵	8
4	3	5	9	6	8	7	1	2		
¹	6	8	7	²	¹	2	3	³	⁴	⁵
5	4	1	6	3	9	2	8	7		
6	7	2	¹	4	8	¹	4	⁵	⁹	3
3	8	9	2	7	5	4	6	1		
¹	¹	2	⁴	3	²	5	6	³	7	⁵
8	5	6	3	²	7	1	⁴	²	³	⁹
7	²	⁴	³	⁴	5	8	⁹	⁵	⁹	6

sdk 17

3.6 Regel X

Starke und schwache Kanten. Kommt ein Kandidat innerhalb eines Blocks zweimal vor, so nennt man die Verbindung der betreffenden Zellen eine *Kante* (in Bezug auf diesen Kandidaten). Kommt der Kandidat innerhalb des Blocks kein weiteres Mal vor, so heißt die Kante *stark*, sonst *schwach*. Analog sind Kanten in Bezug auf Zeilen und Spalten definiert. Im Folgenden unterscheiden wir zwischen X_1 -Ketten und X_2 -Zyklen.

3.6.1 X_1 -Ketten

Unter einer *einfachen* X_1 -Kette versteht man eine zusammenhängende Folge aus einer ungeraden Anzahl starker Kanten.

einfache X_1 -Kette (2)**einfache X_1 -Kette (7)**

Die rote Kette besteht aus 3 aufeinanderfolgenden starken Kanten bezüglich des Kandidaten 2. In der Vervollständigung (genauer: in jeder Vervollständigung) wird deshalb die Ziffer 2 in genau einer der beiden Endzellen (4, 1) und (8, 5) stehen. Somit kann der Kandidat 2 in Zelle (4, 5) gestrichen werden. Analog bewirkt die blaue Kette, dass der Kandidat 7 in Zelle (8, 6) gestrichen werden kann.

7	6	4	9	8	5	6	3	2	1
7	8	⁵	⁸	7	⁵	7	³	1	2
1	³	6	2	9	⁴	³	5	7	8
²	6	7	⁵	⁸	²	3	4	³	1
9	²	⁵	6	1	²	3	⁶	⁵	3
3	²	⁶	4	1	9	5	²	⁶	8
4	9	3	5	8	1	7	6	2	
5	²	⁸	⁷	8	²	6	⁷	⁹	1
1	6	²	3	⁷	²	3	9	8	4

sdk 18

X_1 -Ketten, allgemein. Sind zwei einfache X_1 -Ketten gemäß obiger Definition durch eine schwache Kante verbunden, so hat die (jede) Vervollständigung des Sudokus die Eigenschaft, dass der Kandidat in mindestens einer Endzelle als Ziffer gesetzt wird. Somit kann in jeder Zelle, die mit beiden Endzellen assoziiert ist (mit jeder in einem gemeinsamen Block, einer gemeinsamen Zeile oder einer gemeinsamen Spalte liegt), der Kandidat gestrichen werden.

X_1 -Kette (3) aus zwei einfachen X_1 -Ketten

zweimal je ungerade Anzahl starker Kanten, verbunden durch eine schwache Kante

Die rote X_1 -Kette für den Kandidaten 3 besteht aus zwei einfachen X_1 -Ketten, welche mit den Zellen (4, 1) und (5, 2) verbunden sind (schwach, weil der Kandidat 3 im Block $B_{2,1}$ (Mitte links) noch ein drittes Mal vorkommt).

5	³ 5	7	² 8	8	³ 6	² 1	
2	8	⁴ 3	6	1	7	⁴ 3	⁵ 9
6	1	⁴ 3	9	² 3	5	⁴ 8	⁸ 7
¹ 3	³ 5	6	¹ 3	4	8	⁷ 9	⁷ 2
¹ 3	³ 8	² 7	² 7	¹ 3	5	6	4
4	7	2	5	9	6	1	3
8	4	³ 9	³ 5	2	³ 1	6	
⁷ 3	6	1	8	³ 9	2	4	5
⁷ 3	2	5	¹ 4	6	¹ 4	⁷ 8	⁹ 9

sdk 19

Regel X_1 . Liegt für einen Kandidaten eine X_1 -Kette vor, so kann der Kandidat in jeder Zelle gestrichen werden, die mit beiden Endzellen der Kette assoziiert ist.

3.6.2 X_2 -Zyklen

Ein einfacher X_2 -Zyklus besteht aus einer geraden Anzahl starker Kanten und einer schwachen Kante.

einfacher X_2 -Zyklus (7)

gerade Anzahl starker Kanten und eine schwache Kante

Da bei jeder starken Kante der Kandidat an einem und nur einem Ende in die Vervollständigung eingehen wird, gibt es bei einer Kette aus einer geraden Anzahl Kanten nur zwei Möglichkeiten: Der Kandidat erscheint in der Vervollständigung in beiden oder in keiner der beiden Endzellen. Der erste Fall ist jedoch wegen der schwachen Kante ausgeschlossen. Also kann der Kandidat in beiden Endzellen gestrichen werden.

1	² 5	3	4	⁵ 6	⁶ 9	7	8	² 9
4	⁵ 6	² 6	⁵ 6	8	⁷ 9	1	² 9	3
7	8	9	1	2	3	4	5	6
² 6	1	4	3	⁶ 7	² 6	8	⁹ 7	⁵ 9
⁶ 9	7	5	⁶ 9	1	8	2	3	4
² 9	3	8	⁷ 9	4	² 7	6	1	⁵ 9
3	² 9	1	8	⁷ 9	4	5	6	² 7
5	4	² 6	⁶ 7	3	1	9	² 7	8
8	⁶ 9	7	2	⁶ 9	5	3	4	1

sdk 20

Allgemeines Schema eines X_2 -Zyklus

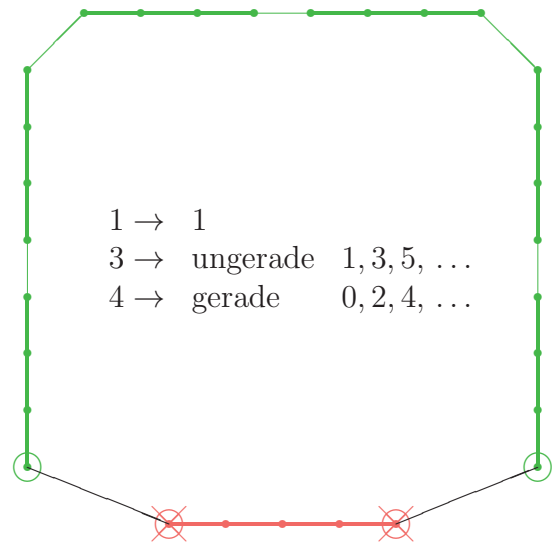
X_1 -Kette

Verbindungskanten

gerade Anzahl starker Kanten

Der allgemeine X_2 -Zyklus setzt sich zusammen aus einer X_1 -Kette und einer Kette aus einer geraden Anzahl starker Kanten, mit zwei schwachen Kanten als Verbindungsstücken.

Im Schema rechts steht die Kette aus 4 starken Kanten für eine Kette aus einer beliebigen geraden Anzahl starker Kanten. (Sogar 0 ist zulässig; dann mutiert die Regel zur X_1 -Regel.) Jede Kette aus genau 3 starken Kanten steht für eine Kette aus einer beliebigen ungeraden Anzahl starker Kanten. Jede schwache Kante (dünn) steht für eine und nur eine schwache Kante.



Regel X_2 . In einem X_2 -Zyklus kann der Kandidat an den Enden der Kette aus einer geraden Anzahl starker Kanten gestrichen werden.

3.7 Regel Y

Y -Ketten bestehen aus Kanten, welche Zellen mit je genau 2 Kandidaten verbinden. Eine Y -Kette für den Kandidaten c_0 liegt vor, wenn die Folge der Kandidatenpaare in folgender Form geschrieben werden kann:

$$\{c_0, c_1\}, \{c_1, c_2\}, \dots, \{c_{n-1}, c_0\}$$

Im Sudoku rechts liegt eine Y -Kette für den Kandidaten 8 und eine für den Kandidaten 6 vor.

7	6	4	9	8	5	7	8	3	2	1
7	8	3	5	7	8	7	3	1	2	4
1	8	3	6	2	9	4	3	6	4	5
2	6	7	5	2	3	6	4	2	3	1
8	2	5	6	1	7	2	3	2	6	5
9	8	2	6	4	1	9	5	2	6	8
3	8	2	6	4	1	9	5	2	6	8
4	9	3	5	8	1	7	6	2	9	1
5	2	8	7	8	4	2	6	9	1	3
2	8	7	8	2	3	2	3	9	8	4
7	1	6	7	7	9	8	4	5		

sdk 21

$Y(8): \{8, 7\}, \{7, 2\}, \{2, 8\}$

$Y(6): \{6, 7\}, \{7, 2\}, \{2, 8\}, \{8, 7\}, \{7, 6\}$

Regel Y. Liegt eine Y-Kette für einen Kandidaten c_0 vor, so kann dieser in jeder Zelle, die mit beiden Endzellen der Kette assoziiert ist, gestrichen werden.

Im obigen Beispiel kann der Kandidat 8 in der Zelle (2, 2), der Kandidat 6 in der Zelle (1, 6) gestrichen werden.

In Fowler[2] ist eine sehr komplizierte Y-Kette für den Kandidaten 5, welche es gestattet, diesen in Zelle (8, 3) zu streichen:

Y (5):

$\{5, 7\}, \{7, 1\}, \dots, \{4, 8\}, \{8, 5\}$

Aber: Man kann das Sudoku auch anders lösen ...

sdk 22

4 Fortgesetztes Einschränken mit APL

4.1 Boolesche Kandidatenliste (BKL)

Man erhält üblicherweise eine Kandidatenliste, indem man in jede leere Zelle sämtliche Kandidaten schreibt, die weder im betreffenden Block, noch in der betreffenden Zeile, noch in der betreffenden Spalte vorkommen.

Eine solche Kandidatenliste lässt sich durch einen Booleschen Würfel darstellen. Die

erste Würfelebene drückt das Vorkommen des Kandidaten 1 aus, die 2. Ebene die des Kandidaten 2 usw.

Das folgende Beispiel illustriert die Boolesche Kandidatenliste (BKL) im Fall eines 4x4-Sudokus (Δs_{dk4_001}). Die BKL besteht aus vier Booleschen Matrizen.

```
lm1←⊖ucmd'display osDEB-1 0+zeig nm←Δsdk4_001'
lm2←⊖ucmd'display osDEB-1 0+zeig nm←Δsdk4_001'
```

```
(9 15↑' ',[1]lm1,[1]' '),lm2
```

→-----	→-----
↓2 0 1 0	↓0 0 0 0 ↓0 0 0 0 ↓0 1 0 0 ↓0 0 0 1
↓0 0 3 0	↓1 1 0 0 ↓0 0 0 1 ↓0 0 0 0 ↓1 0 0 1
-----	-----
↓0 4 0 0	↓1 0 0 1 ↓0 0 1 1 ↓1 0 0 1 ↓0 0 0 0
↓0 0 0 0	↓1 1 0 1 ↓0 1 1 1 ↓1 1 0 1 ↓0 0 1 1
-----	-----
	←-----

Zum Beispiel eliminiert die 1 in Zelle (1, 3) in der ersten Matrix den Kandidaten 1 in Block $B_{1,2}$ (oben rechts), Zeile 1 und Spalte 3. Die 4 in Zelle (3, 2) eliminiert in der 4. Matrix den Kandidaten 4 in Block $B_{2,1}$ (unten links), Zeile 3 und Spalte 2. Die übrigen

Nullen in den 4 Booleschen Matrizen zeigen die schon besetzten Zellen an.

Das Sudoku und die BKL erzeugen eine Partition der Zellen, wie unten ersichtlich wird:

```
BKL←genBKL Δsdk4_001
      (v/[1]clues^BKL) (v/[1]cluesvBKL)
0 0 0 0      1 1 1 1
0 0 0 0      1 1 1 1
0 0 0 0      1 1 1 1
0 0 0 0      1 1 1 1
```

Wir fügen noch das Programm `os-DEB` an, welches ein Ersatz für das

ASMFNS-Programm `DEB` von APL+Win ist:

```
[0] lm←osDEB lm;bv1;bv2;MAT;lm0;lm1;w
[1] A-----
[2] A Ersatz für ASM-Funktion DEB in klassischem APL
[3] A Eliminiert Anfangs- und Endleerspalten und reduziert
[4] A im Innern mehrfache Leerspalten auf einfache
[5] A-----
[6] MAT←2=ρplm
[7] lm←(¬2↑1 1,ρlm)ρlm ⋄ lm←' ',lm,' ' ⋄ lm←0 1+0 ¬1+(¬1 1∈^/[1]' '=lm)/lm
[8] →MAT/0 ⋄ lm←,lm
```

4.2 Die Regel F

Das folgende Programm `cpropF` reduziert ein gegebenes Sudoku `nm` und die

zugehörige BKL gemäß Regel *F*:

```
[0] v2←cpropF v2;bm;BKLunique;BKL0;BKL;w;nm;cm;side;v;t
[1] A-----
[2] A Aufgrund der gemäss BKL feststehenden Ziffern
[3] A werden BKL und nm (Sudoku) nachgeführt.
[4] A (d,r,c): digit,row,column
[5] A-----
[6] t←'F ---' A Bildschirm: Regel
[7] (BKL nm)←v2
[8] side←1>ρBKL
[9] BKL0←BKL A zu Protokollzwecken
[10] bm←1=+/[1]BKL A Wo ist die Ziffer eindeutig?
[11] BKLunique←BKL^(ρBKL)ρbm A In den andern Zellen BKL=0
[12] v←numeriereBKL BKLunique A 1 in BKLunique --> (d,r,c)
[13] BKL←BKL^>^/side gen3DFilter``v A Ausputz von BKL
[14] w←nm ⋄ w[1+side¬1+Q>1+``v]←1>``v A nm gemäss v nachführen
[15] nm←(side,side)ρw
[16] BKL←BKL^genBKL nm A BKL anpassen
[17] w←(nm=0)≡v/[1]BKL A Kompatibilität von nm/BKL testen
[18] v2←BKL nm
[19] →(Report=0)/0
[20] →(0=ρv)/0
[21] A Protokoll nachführen: Anfang -----
[22] A=====
[23] w←,' ', '→subLin 1 0 2 0 1 0⌘v A Zellenangabe
[24] cpropProgress BKL0 BKL (cm+t,w) A 1: nm t0R Report
[25] A=====
[26] A Protokoll nachführen: Ende -----
```

Es folgen die zugehörigen Unterprogramme:

```
[0] v_nv3←numeriereBKL bm3D;side
[1] A-----
[2] A gibt zu jeder 1 in bm3D die 3 Koordinaten an (d,r,c)
[3] A-----
[4] side←1+⍳bm3D ⋄ v_nv3←c[2]⍳1+(3⍴side)⊖1+(,bm3D)/⍳⍴bm3D

[0] bm3D←ns gen3DFilter nv3;side;d;r;c;base
[1] A-----
[2] A ns: side
[3] A Wenn an der Stelle nv3 (Ziffer, Zeile, Spalte) eine 1 gesetzt ist:
[4] A - keine andere Ziffer
[5] A - Ziffer nicht möglich in derselben Zeile
[6] A - Ziffer nicht möglich in derselben Spalte
[7] A - Ziffer nicht möglich im selben Block
[8] A-----
[9] side←ns
[10] base←1 2 3[1 4 9]side]
[11] (d r c)←nv3           A d,r,c: digit, row, column
[12] bm3D←(3⍴side)⍴1
[13] bm3D[;r;c]←0         A keine andere Ziffer in der Zelle (r,c)
[14] bm3D[d;r;]←0         A Ziffer nicht möglich in derselben Zeile
[15] bm3D[d;;c]←0         A Ziffer nicht möglich in derselben Spalte
[16] bm3D←bloeckeZU3zeilen bm3D
[17] bm3D[d;base welcherBlock r,c;]←0 A Ziffer nicht möglich im selben Block
[18] bm3D←bloeckeZU3zeilen bm3D
[19] bm3D[d;r;c]←1         A ursprünglicher Wert wird gerettet

[0] na←bloeckeZU3zeilen na;base
[1] A-----
[2] A verwandelt Blöcke in Zeilen in 3D-Matrix mit ⍴ = x,side,side
[3] A (analog zu bloeckeZUzeilen) - identisch mit seiner Umkehrung
[4] A-----
[5] base←1 2 3[1 4 9]⍴⍴na] ⋄ na←(⍴na)⍴c[3](base/⍴base)⊖1+(base/⍴base)⊖na

[0] ns←ns welcherBlock nv2;base;side
[1] A-----
[2] A ns: base (Default 3)
[3] A nv2: r,c "row" "column"
[4] A findet den Block, in dem sich die Zelle (r,c) befindet
[5] A Blöcke zeilenweise durchgezählt (1 bis side)
[6] A-----
[7] →(2=⍳nc'ns')/L_0 ⋄ ns←3
[8] L_0: base←ns ⋄ side←base×base ⋄ ns←1+base⊖1+1+⍳(⊖1+nv2)÷base
```

4.3 Die Regel N

Für die Regel *F* wird BKL in Richtung der 1. Achse auf Eindeutigkeit abgesucht. Für die Regel *N* wird BKL analog in Richtung der Achsen 2 und 3 abgesucht. Zur Ermittlung der Block-Eindeutigkeit müssen

zuerst die Blöcke in Zeilen verwandelt werden. Das Programm `cpropN` ist im Wesentlichen dasselbe wie `cpropF`, nur dass einige Achsenpermutationen vorgenommen werden.


```

[0] v2←ns cpropN v2;BOX;BKL0;BKL;nm;t;p;bm;BKLunique;v;w;cm;side
[1] A-----
[2] A Aufgrund der Regel N werden BKL und nm (Sudoku) nachgeführt.
[3] A ns: (1) Box (2) Column (3) Row
[4] A v2: BKL nm
[5] A (d,r,c): digit,row,column
[6] A-----
[7] BOX←ns=1
[8] t←ns>'N N_B' 'N N_C' 'N N_R' A Bezeichnung
[9] p←ns>(3 2 1) (2 1 3) (3 2 1) A Achsenpermutationen (=Umkehrung)
[10] (BKL nm)←v2
[11] side←1>ρBKL
[12] BKL0←BKL
[13] →(~BOX)/L_0
[14] BKL←bloেকেZU3zeilen BKL A speziell für Block-Reduktion
[15] L_0:
[16] BKL←p ρBKL A p: Achsenpermutation BKL
[17] bm←1=+/[1]BKL A In welchen Zellen ist die Ziffer eindeutig?
[18] BKLunique←BKL^(ρBKL)ρbm A In den andern Zellen wird BKL auf 0 gesetzt
[19] BKL←p ρBKL A p: Achsenpermutation BKL
[20] BKLunique←p ρBKLunique A p: Achsenpermutation BKLunique
[21] →(~BOX)/L_1
[22] BKL←bloেকেZU3zeilen BKL A speziell für Block-Reduktion
[23] BKLunique←bloেকেZU3zeilen BKLunique A speziell für Block-Reduktion
[24] L_1:
[25] v←numeriereBKL BKLunique A l in BKLunique --> (d,r,c)
[26] BKL←BKL^>^/side gen3DFilter''v A Ausputz von BKL
[27] w←,nm ∘ w[1+side_1-1+Q>1↓''v]←1>''v A nm gemäss v nachführen
[28] nm←(side,side)ρw
[29] BKL←BKL^genBKL nm A BKL anpassen
[30] w←÷(nm=0)≡v/[1]BKL A Kompatibilität von nm/BKL testen 16.05.14
[31] v2←BKL nm
[32] →(Report=0)/0
[33] →(0=ρv)/0
[34] A Protokoll nachführen: Anfang -----
[35] A=====
[36] w←,' ',' '→'subLin 1 0 2 0 1 0'→v A Zellenangabe
[37] cpropProgress BKL0 BKL (cm←t,w) A l: nm t0R Report
[38] A=====
[39] A Protokoll nachführen: Ende -----

```

4.4 Zur Regel Y

Sowohl für die Regel X als auch für die Regel Y ist die Ermittlung von Ketten nötig. Im Programm `cpropY` werden die verbundenen Zellen durchnummeriert. Eine Kette wird dann durch einen numerischen Vektor dargestellt. Da unser Programm die Ketten, die zur Streichung von Kandidaten führen, im Protokoll vollständig wiedergeben soll, muss es sie ständig mitführen. Das Programm wird dadurch langsamer und kann gelegentlich lange bei der vergeblichen Suche nach Ketten verharren.

Im folgenden Aufrufdiagramm geschieht die Verkettung auf den Zeilen [9] und [10].

Verwendet wird in `joinESn` ein äußeres, in `joinESn_v` ein inneres Produkt.

Letztgenanntes hat als bekannteste Anwendung die gewöhnliche Matrixmultiplikation. In der Form $V \wedge$ dient es zur Verkettung von Pfaden in Graphen.

Führt z.B. in einem Graphen mit 7 Ecken ein Pfad von Punkt 2 nach Punkt 5 und einer von Punkt 5 nach Punkt 3, so können diese Verbindungen durch Matrizen M und N dargestellt werden, und das innere Produkt zeigt dann, dass Punkt 2 mit Punkt 3 verbunden ist:

```

N+M<7 7p0 ◇ M[2;5]←N[5;3]←1
display M N ' ' (Mv.^N)
.→-----
|.→-----|.→-----|.→-----|.→-----|.
|↓0 0 0 0 0 0 0 0|↓0 0 0 0 0 0 0 0||'|↓0 0 0 0 0 0 0 0| |
|↓0 0 0 0 1 0 0 0|↓0 0 0 0 0 0 0 0||'|--'|↓0 0 1 0 0 0 0 0|
|↓0 0 0 0 0 0 0 0|↓0 0 0 0 0 0 0 0||'|↓0 0 0 0 0 0 0 0|
|↓0 0 0 0 0 0 0 0|↓0 0 0 0 0 0 0 0||'|↓0 0 0 0 0 0 0 0|
|↓0 0 0 0 0 0 0 0|↓0 0 1 0 0 0 0 0||'|↓0 0 0 0 0 0 0 0|
|↓0 0 0 0 0 0 0 0|↓0 0 0 0 0 0 0 0||'|↓0 0 0 0 0 0 0 0|
|↓0 0 0 0 0 0 0 0|↓0 0 0 0 0 0 0 0||'|↓0 0 0 0 0 0 0 0|
|'|~-----'|~-----'|~-----'|~-----'|
'|ε-----'

```

Will man die Pfade (Ketten) mitführen,
so muss man sich anstelle der 1 in $\mathbb{M}[2;5]$

alle Pfade vorstellen, die von Punkt 2 nach Punkt 5 führen, z.B.

```

display vv1←(2 5) (2 3 7 5) (2 4 5) (2 6 5)
→-----
|→---|→---|→---|→---| | | | |
|2 5||2 3 7 5||2 4 5||2 6 5||
|'~-'|'~-----'|'~---'|'~-----'|
|6|

```

A Alle Streckenzüge führen von 2 nach 5.

Und statt der 1 in $N[5;3]$ stehen dann Pfade, die von Punkt 5 nach Punkt 3 gehen, wie

beispielsweise:

```

      ldisplay vv2<-(5 7 3) (5 4 3) (5 3)
      .----->
      |.----->|.----->|.----->|.
      ||5 7 3||5 4 3||5 3||
      |'~-----'|'~-----'|'~-----'|
      |6

```

A Alle Streckenzüge führen von 5 nach 3.

Das Programm `joinESn` verkettet jeden der Pfade der ersten Sorte mit jedem der zweiten

Sorte und ergibt deshalb Pfade, die vom Punkt 2 über Punkt 5 nach Punkt 3 führen:

```
ldisplay vv1 joinESn vv2      A Alle Streckenzüge führen von 2 über 5 nach 3.
```

→	→	→	→	→	→	→	→
2 5 7 3	2 5 4 3	2 5 3	2 4 5 7 3	2 4 5 3	2 6 5 7 3	2 6 5 4 3	2 6 5 3
~-----	~-----	~-----	~-----	~-----	~-----	~-----	~-----
6							

Das Programm `joinESn` verknüpft nun aber lediglich *einen* Punkt in der Matrix `M` mit *einem* Punkt in der Matrix `N`. Um aber sämtliche Pfade vom Punkt 2 nach dem Punkt 3 zu erhalten, muss die ganze 2. Zeile von `M` mit der ganzen 3. Spalte von `N` verbunden werden, was zusätzlich durch

das Programm `joinESn_v` ausgeführt wird. In den klassischen Fällen $+.x$ und $V.\wedge$ ist dies nicht nötig, da die verwendeten APL-Funktionen Vektoren von sich aus elementweise verarbeiten. Es folgen die beiden Programme `joinESn` und `joinESn_v` sowie der Aufrufbaum von `cpropY`:

```

[0] vv←vv1 joinESn vv2;bv;vv0
[1] A-----
[2] A ES: "edge sequence" (Streckenzug)
[3] A vv1,vv2,vv : Vektoren von Streckenzügen (edge sequences)
[4] A kateniert jeden Streckenzug von vv1 mit jedem von vv2
[5] A Alle Streckenzüge von vv1 führen von A nach B, und alle von vv2
[6] A führen von B nach C. Nach der Katenation führen alle Streckenzüge
[7] A von A nach C.
[8] A-----
[9]   vv←10
[10] →(vv1≡10)/0
[11] →(vv2≡10)/0
[12]   vv0←,vv1∘.,1↓``vv2           A inneres Produkt bezüglich ","
[13]   bv←,distinct``vv0           A ohne Wiederholungen
[14] →(~v/bv)/0
[15]   vv←bv/vv0                   A Zyklen vermeiden

[0] v←v1 joinESn_v v2;N;L;I;w
[1] A-----
[2] A verarbeitet v1 und v2 elementweise mit "joinESn"
[3] A Dieser Schritt ist bei +.× und bei v.∧ nicht nötig, weil +, ×, v, ∧
[4] A an sich schon elementweise arbeiten.
[5] A v←v1 joinESn`` v2
[6] A-----
[7]   v←10
[8]   N←pv1 ◇ →(N=0)/0 ◇ v←Np<10 ◇ L←(NpLOOP),0 ◇ I←1
[9] LOOP: v[I]←(I>v1)joinESn I>v2 ◇ →L[I←I+1]

[0] cpropY
[1] |Clos_ES_cprop
[2] |--getEdgesY
[3] |--associated
[4] |--indexFRC
[5] |--nub
[6] |--redFRC_PathsY_pp_bmVrb
[7] |--nub
[8] |--getCE<<
[9] |--joinESn_v
[10] |--joinESn
[11] |--vvExtractFROMm<<
[12] |--pp_Kanten_ij
[13] |--pp_Punkte_ij
[14] |--getCandidates_n
[15] |--indexFRC
[16] |--nub
[17] |--redPathsYorder_cprop
[18] |--getCandidates_n
[19] |--nub
[20] |--getSignatures
[21] |--evalPathsYcprop
[22] |--elimCands_cprop

```

Das Programm Clos_ES_cprop bringt die Verlängerung der Kantenfolgen (ES: *edge sequence*) zum Abschluss (*closure*). Auf Zeile [9] wird joinESn_v aufgerufen.

Der Aufruf ist im nachfolgenden Programm auf Zeile [22] zu finden. Es handelt sich um ein inneres Produkt mit der

Rechtsfunktion joinESn_v und der Katenation als Linksfunktion. Die verlängerten Streckenzüge (Ketten) müssen anschließend einzeln ausgepackt werden. Das ist weder beim gewöhnlichen Matrixprodukt noch bei v.∧ nötig, weil der Einschluss (enclose) von Skalaren keine Wirkung zeigt.

```

[0] bm3D←Clos_ES_cprop bm3D;BKL;vv2;BKL0;pp;bmVrb;CE;m;m0;vvI;vvRC;cc;w;M;side
[1] A-----
[2] A Clos: "Closure"
[3] A   ES: "edge sequence" Streckenzug
[4] A bm3D: BKL
[5] A   vv2: Vektor der Kanten (RC)
[6] A   vvI: Vektor der möglichen Y-Ketten
[7] A       (mit pp-Indizes als Ecken) erhalten aus bmVrb
[8] A   vvRC: Vektor der Streckenzüge (mit (R,C) als Ecken)
[9] A       m: >m[i;j] ist Vektor sämtlicher Streckenzüge von P_i nach P_j
[10] A       (pp-Indizes) falls keine: <10
[11] A       1: ZAEHLER_SUP_Y   VVlen_SUP_Y DOMINO_EIN
[12] A-----
[13] BKL←bm3D ⋄ side←1ρBKL
[14] vv2←2 getEdgesY BKL           A vv2=vSE4: sequence of edges Form (R,C)
[15] (pp bmVrb)←redFRC_PathsY_pp_bmVrb vv2
[16] →(0=ρpp)/L_ENDE
[17] CE←m←getCE bmVrb           A CE: "connecting edges" Verbindungsstrecken
[18] m0←(ρm)ρ<10             A   jede Kante ein Paar von pp-Indizes
[19] M←10
[20] BKL0←BKL
[21] LOOP:
[22] m←⌵m ,.joinESn_v CE       A Verlängerung der Ketten um 1 Kante (CE)
[23]                             A m enthält nur Ketten einer best. Länge
[24] M←M,cm
[25] →(m=m0)/L_ENDE
[26] A BKL aufgrund von m anpassen: Anfang -----
[27] A=====
[28] vvI←vvExtractFROMm m       A Übergang m --> vvI
[29] vvRC←pp pp_Kanten_ij vvI side A vvI: pp-Indizes vvRC: (R,C)
[30] cc←(cBKL)getCandidates_n`vvRC
[31] w←÷∧/2=,⌵p`,⌵cc
[32] vvRC←BKL redPathsYorder_n vvRC A vvRC reduzieren und ordnen
[33] →(0=ρvvRC)/L_ENDE
[34] A Kandidaten streichen: Anfang -----
[35] A=====
[36] BKL←evalPathsYcprop BKL vvRC A entspr. Kandidaten streichen
[37] A=====
[38] A Kandidaten streichen: Ende -----
[39] A=====
[40] A BKL aufgrund von m anpassen: Ende -----
[41] →(BKL=BKL0)/LOOP
[42] L_ENDE: bm3D←BKL

```

4.5 Alle 7 Regeln

Das folgende Programm CPropFNBTWYX wendet die 7 Regeln in der aufgeführten Reihenfolge an. Es kehrt jedesmal zur einfachsten Regel zurück, wenn irgendeine der Regeln zu einer Reduktion von BKL geführt hat. Erfahrung zeigt, dass es sich empfiehlt, die Regel Y vor der Regel X anzuwenden. Durch Weglassen von Unterprogrammen oder Umstellen der Reihenfolge kann das

Programm leicht an eine beliebige Auswahl der Regeln und eine beliebige Reihenfolge angepasst werden. Es liest oder ändert die Variablen Report, RPPR und t0R, welche die Protokollierung betreffen. Diese Variablen werden vom anschließend aufgeführten Programm CPROP_FNBTWYX bereitgestellt. Dieses bildet gewissermaßen den Rahmen für die Lösung des Sudokus.


```

v v2←nv3 CPropFNBTWYX V2;BKL0;tt;BKL;text;nm;BKL0;BKL;cm;side
[1] A-----
[8] A nv3: [1] obere Grenze für offene Tupel      (Default: 2)
[9] A      [2] obere Grenze für verborgene Tupel  (Default: 2)
[10] A      [3] obere Grenze für W               (Default: 2)
[11] A V2: BKL nm
[12] A att: F field
[13] A      N oNly cell (R/C/B)
[14] A      B box/box interaction (bb1, bb2)
[15] A      T tupel (inkl. h2)
[16] A      X X13 x2 (x2: nur Streckenz. mit gerader Anzahl starker Kar
[17] A      Y y gc (ohne identische Paare) gc: "golden chain"
[18] A      W      SF (inkl. X-Wing)
[19] A      n: "neu" (neues "red_Yn" statt "red_Y")
[20] A-----
[21] (BKL nm)←V2
[22] side←1⊃nm
[24] LOOP:
[26] nr1←(3 0⌘+/,BKL)subL' 0' ⋄ nr2←(2 0⌘+/,nm>0)subL' 0'
[27] ⌘'BKL_',nr1,'_',nr2,'←BKL' ⋄ ⌘'nm_',nr1,'_',nr2,'←nm'
[29] L_F:
[30] BKL0←BKL ⋄ (BKL nm)←cpropF BKL nm ⋄ nm←nmAUS_BKLnm BKL nm
[31] →(0 0=ρnm)/L_ENDE ⋄ →(0=+/,BKL)/L_ENDE ⋄ →(~BKL=BKL0)/LOOP
[33] L_N_B: A 1 cpropN: Box
[34] BKL0←BKL ⋄ (BKL nm)←1 cpropN BKL nm ⋄ nm←nmAUS_BKLnm BKL nm
[35] →(0 0=ρnm)/L_ENDE ⋄ →(0=+/,BKL)/L_ENDE ⋄ →(~BKL=BKL0)/LOOP
[37] L_N_R: A 3 cpropN: Row
[38] BKL0←BKL ⋄ (BKL nm)←3 cpropN BKL nm ⋄ nm←nmAUS_BKLnm BKL nm
[39] →(0 0=ρnm)/L_ENDE ⋄ →(0=+/,BKL)/L_ENDE ⋄ →(~BKL=BKL0)/LOOP
[41] L_N_C: A 2 cpropN: Column
[42] BKL0←BKL ⋄ (BKL nm)←2 cpropN BKL nm ⋄ nm←nmAUS_BKLnm BKL nm
[43] →(0 0=ρnm)/L_ENDE ⋄ →(0=+/,BKL)/L_ENDE ⋄ →(~BKL=BKL0)/LOOP
[45] L_B: BKL0←BKL ⋄ BKL←cpropB BKL ⋄ nm←nmAUS_BKLnm BKL nm
[46] →(0 0=ρnm)/L_ENDE ⋄ →(0=+/,BKL)/L_ENDE ⋄ →(~BKL=BKL0)/LOOP
[48] L_T: BKL0←BKL ⋄ BKL←(2+nv3) cpropT BKL nm ⋄ nm←nmAUS_BKLnm BKL nm
[49] →(0 0=ρnm)/L_ENDE ⋄ →(0=+/,BKL)/L_ENDE ⋄ →(~BKL=BKL0)/LOOP
[51] L_W: BKL0←BKL ⋄ BKL←nv3[3] cpropW BKL ⋄ nm←nmAUS_BKLnm BKL nm
[52] →(0 0=ρnm)/L_ENDE ⋄ →(0=+/,BKL)/L_ENDE ⋄ →(~BKL=BKL0)/LOOP
[54] L_Y: 0 cpropProgress BKL ((3/side)ρ0) (cm← ' L_Y:')
[55] BKL0←BKL ⋄ BKL←cpropY BKL ⋄ nm←nmAUS_BKLnm BKL nm
[56] →(0 0=ρnm)/L_ENDE ⋄ →(0=+/,BKL)/L_ENDE ⋄ →(~BKL=BKL0)/LOOP
[58] L_X: 0 cpropProgress BKL ((3/side)ρ0) (cm← ' L_X:')
[59] BKL0←BKL ⋄ BKL←cpropX BKL ⋄ nm←nmAUS_BKLnm BKL nm
[60] →(0 0=ρnm)/L_ENDE ⋄ →(0=+/,BKL)/L_ENDE ⋄ →(~BKL=BKL0)/LOOP
[62] L_ENDE: v2←BKL nm

[0] v4←nv3 CPROP_FNBTWYX lv;t0R;RPPR;BKL;nm;BKL0;nm0;tupel;Report
[1] A-----
[2] A nv3: [1] obere Grenze für offene Tupel      (Default: 2)
[3] A      [2] obere Grenze für verborgene Tupel  (Default: 2)
[4] A      [3] obere Grenze für W-Muster         (Default: 2)
[5] A lv: Sudoku-Name
[6] A Regeln gemäss "att": www.afjarvis.staff.shef.ac.uk/sudoku/sudoku.pdf
[7] A      J.S. Fowler: A 9x9 sudoku solver and generator
[8] A att: F field
[9] A      N oNly cell (B/R/C)
[10] A      B box/row box/column interaction
[11] A      T tupel
[12] A      X X13 X_2
[13] A      Y
[14] A      W (inkl. X-Wing)
[15] A-----
[16] Report←1 A Initialisierung Report
[17] t0R←sec A Initialisierung t0R
[18] RPPR←0 80ρ'' A Initialisierung Protokoll
[19] →(2=⌘nc'nv3')/L_0 ⋄ nv3←7 7 7 A 7 7 7: Default für nv3
[20] L_0:
[21] (nv3 BKL nm)←nv3 cpropStart lv A BKL aufgrund von nm (Sudoku)
[22] (BKL0 nm0)←BKL nm
[23] tupel←genTupel 1 2 3 [1 4 9]⊃nm] A TUPEL (für Regeln T und W)
[24] A Constraint Propagation: Anfang -----
[25] A=====
[26] (BKL nm)←nv3 CPropFNBTWYX BKL nm A 1: Report t0R ä: RPPR
[27] A=====
[28] A Constraint Propagation: Ende -----
[29] lv cpropEnde nm0 nm BKL0 BKL
[30] v4←(nm0 nm BKL RPPR)

```

Das folgende Protokoll wird vom Programm CPROP_FNBWTYX hergestellt. Es wird während des Ablaufs auf den

Bildschirm geschrieben und ist zugleich in der Variablen RPPR enthalten. Es wird nachfolgend stückweise wiedergegeben:

```
(nm0 nm BKL RPPR)←CPROP_FNBWTYX 'Δsdk9_tbz_071112'

[0] Δsdk9_tbz_071112                                0.0 cpropStart[22]-----
[1] =====                                         0.0 cpropStart[23]-----
[2] N N_B 3→79 4→39 5→47                          28 189  -18 0.0 cpropN[48]-----
[3] N N_B 7→29                                       29 182   -7 0.0 cpropN[48]-----
[4] B B>R cn=1/b=13/r=1    17 18                   29 179  -3 0.0 cpropBR[48]-----
[5]    12-1 13-1 15-1                                0.0 cpropBR[50]-----
```

[2]: In Zelle (7, 9) kann 3 gesetzt werden, weil der Kandidat 3 im betreffenden Block nur einmal vorkommt. Aus demselben Grund kann in Zelle (3, 9) die Ziffer 4 und in Zelle (4, 7) die Ziffer 5 gesetzt werden. [4], [5]: In Block $B_{1,3}$ konzentriert sich der Kandidat 1 auf die 1. Zeile, wo er in den Zellen (1, 7) und (1, 8) vorkommt. Deshalb kann er nach Regel $B \succ R$ in den Zellen (1, 2), (1, 3) und (1, 5) gestrichen werden.

Ganz am rechten Rand ersieht man das jeweils aktuelle Unterprogramm und die Zeilennummer. Die vier Spalten davor bedeuten: die Anzahl der bisher bestimmten Ziffern, die Anzahl der in der BKL verbleibenden Kandidaten sowie die jeweilige Anzahl der gestrichenen Kandidaten, und schließlich die Zeit in Sekunden, die seit dem Start des Programms verflossen ist.

```
[6] N N_B 1→35                                     30 172  -7 0.0 cpropN[48]-----
[7] B B>R cn=6/b=13/r=1    17 18 19                0.0 cpropBR[48]-----
[8]    12-6                                         0.0 cpropBR[50]-----
[9] B B>R cn=8/b=13/r=1    17 18 19                0.1 cpropBR[48]-----
[10]    12-8 14-8 15-8                             0.1 cpropBR[50]-----
[11] B B>R cn=9/b=31/r=9    92 93                  0.1 cpropBR[48]-----
[12]    95-9 96-9 98-9                             0.1 cpropBR[50]-----
[13] B B>C cn=2/b=33/c=7    77 97                  0.1 cpropBC[53]-----
[14]    57-2                                         0.1 cpropBC[55]-----
[15] B B>C cn=5/b=31/c=1    71 81                  0.1 cpropBC[53]-----
[16]    21-5                                         0.1 cpropBC[55]-----
[17] T hT2 (c=2) 22 92 {16}                        0.2 cprop_hTupel[36]----
[18]    22-8 22-9 92-7 92-9                        30 159  -4 0.2 cprop_hTupel[38]----
```

In Spalte 2 liegt ein verstecktes Paar (h: „hidden“) vor. Es handelt sich um das Paar {1; 6} in den Zellen (2; 2) und (9; 2). Gemäß Regel T können in diesen beiden Zellen die

übrigen Kandidaten gestrichen werden: In Zelle (2; 2) sind es die Kandidaten 8 und 9, in Zelle (9; 2) die Kandidaten 7 und 9.

```
[19] N N_B 9→93                                     31 154  -5 0.2 cpropN[48]-----
[20] N N_B 9→12                                     32 150  -4 0.2 cpropN[48]-----
[21] N N_C 7→33                                     33 146  -4 0.2 cpropN[48]-----
[22] N N_C 7→42                                     34 142  -4 0.2 cpropN[48]-----
[23] B B>R cn=2/b=11/r=3    31 32                  0.2 cpropBR[48]-----
[24]    36-2                                         0.2 cpropBR[50]-----
[25] L_Y:                                           0.6 CPropFNBWTYX[54]----
[26] L_X:                                           0.6 CPropFNBWTYX[58]----
[27] X X13 (3) 36=31=13=63                         7.4 cpropX_bm[83]-----
[28]    66-3                                         34 140  -1 7.4 cpropX_bm[85]-----
```

[25]: Das Programm sucht nach Y-Ketten, findet aber keine.

[26]-[28]: Das Programm sucht nach X-Ketten und findet auch eine für den Kandidaten 3. Es handelt sich um eine einfache

X_1 -Kette aus den Zellen (3, 6), (3, 1), (1, 3) und (6, 3). Die 3 Gleichheitszeichen stehen für 3 starke Kanten. Da Zelle (6, 6) mit beiden Enden der Kette assoziiert ist, kann dort der Kandidat 3 gestrichen werden.

```
[29] L_Y:
[30] L_X:
[31] X X13 (3) 63=13=31=36=96=95
[32] 65-3
[33] N N_R 3→63
.... F F F F F F F
[41] N N_B 4→68
[42] N N_B 4→87
[43] N N_B 1→88
[44] N N_B 1→17
[45] N N_C 3→96
[46] B C>B cn=2/b=22/c=6 56 66
[47] 54-2 65-2
[48] F --- 5→65
[49] T oT2 (c=6) 26 86 {59}
[50] 56-9
```

```
7.7 CPropFNBTWYX[54]----
7.7 CPropFNBTWYX[58]----
17.4 cpropX_bm[83]-----
17.4 cpropX_bm[85]-----
17.4 cpropN[48]-----
34 139 -1
35 135 -4
48 88 -3
49 85 -3
50 80 -5
51 77 -3
52 74 -3
17.5 cpropN[48]-----
17.5 cpropN[48]-----
17.5 cpropN[48]-----
17.5 cpropN[48]-----
17.5 cpropN[48]-----
17.5 cpropCB[50]-----
17.5 cpropCB[52]-----
52 72 -2
53 69 -3
17.5 cpropF[30]-----
17.5 cprop_oTupel[38]----
53 68 -1
17.5 cprop_oTupel[40]----
```

[29]-[32]: Erneut sucht das Programm vergeblich nach einer Y-Kette. Dann findet es für den Kandidaten 3 eine weitere (ebenfalls einfache) X_1 -Kette mit 5 starken Kanten, welche es erlaubt, den Kandidaten in der Zelle (6, 5) zu streichen.

[49],[50]: In Spalte 6, nämlich in den Zellen (2, 6) und (8, 6), befindet sich das offene Tupel {5, 9}. Also kann nach Regel *T* der Kandidat 9 in Zelle (5, 6) gestrichen werden.

```
[51] W X2C cn=9/cc=58/rr=47
[52] 44-9 74-9
[53] L_Y:
[54] Y (9) 48-57-77-75
[55] 98 86 62 29
[56] 45-9 78-9
[57] N N_B 9→54 9→89
.... F F F F F F F F
[66] Anfang und Schluss:
```

```
17.8 cpropSF_R_bm_t[46]--
17.8 cpropSF_R_bm_t[48]--
18.1 CPropFNBTWYX[54]----
18.2 elimCands_cprop[24]-
18.2 elimCands_cprop[26]-
53 64 -2
55 56 -8
18.2 elimCands_cprop[28]-
18.2 cpropN[48]-----
81 0 -207
18.3 cpropEnde[20]-----
```

[51], [52]: Der Kandidat 9 kommt in den Spalten 5 und 8 nur in den Zeilen 4 und 7 vor. Er kann deshalb nach Regel *W* in den Zellen (4, 4) und (7, 4) gestrichen werden.

und die Kandidatenpaare, richtig angeordnet, lauten: {9, 8}, {8, 6}, {6, 2} und {2, 9}.

[53]-[56]: Nun ist die erneute Suche nach einer Y-Kette erfolgreich. Sie wird aus den Zellen (4, 8), (5, 7), (7, 7), (7, 5) gebildet,

Es handelt sich somit um eine Y-Kette für den Kandidaten 9. Gemäß Regel *Y* kann nun der Kandidat in den Zellen (4, 5) und (7, 8) gestrichen werden.

```

[67] 4 0 0 | 0 0 7 | 0 0 0 || 4 9 5 | 2 3 7 | 1 8 6
[68] 0 0 0 | 0 4 0 | 3 2 0 || 8 6 1 | 5 4 9 | 3 2 7
[69] 0 0 0 | 6 0 0 | 9 5 0 || 3 2 7 | 6 1 8 | 9 5 4
[70] ----- || -----
[71] 0 0 6 | 0 0 4 | 0 0 1 || 2 7 6 | 3 8 4 | 5 9 1
[72] 0 5 0 | 0 7 0 | 0 3 0 || 1 5 4 | 9 7 2 | 6 3 8
[73] 9 0 0 | 1 0 0 | 7 0 0 || 9 8 3 | 1 5 6 | 7 4 2
[74] ----- || -----
[75] 0 4 8 | 0 0 1 | 0 0 0 || 5 4 8 | 7 9 1 | 2 6 3
[76] 0 3 2 | 0 6 0 | 0 0 0 || 7 3 2 | 8 6 5 | 4 1 9
[77] 0 0 0 | 4 0 0 | 0 0 5 || 6 1 9 | 4 2 3 | 8 7 5
[78] 1 1 1 25 || 1 1 1 81

```

Im weiteren genügen die Regeln *N* und *F* zur Vervollständigung. Am Ende des Protokolls erscheinen das gegebene und das

vervollständigte Sudoku nebeneinander. Es zeigt sich, dass das gegebene 25, das vervollständigte 81 eingefüllte Ziffern aufweist.

5 Noch ein rekursives Programm

Das Pseudo-Sudoku rechts ist seit längerem dafür bekannt, dass es genau zwei Lösungen hat. Es hat nur 16 Vorgaben, und trotz langer Suche hat man nie ein Sudoku mit weniger als 17 Vorgaben gefunden. Heute sind etwa 50 000 solcher 17er-Sudokus bekannt; die meisten sind auf ROYLE[7] zusammengestellt. Ende 2012 ist in MCGUIRE/TUGEMANN/CIVARIO[6] ein computergestützter Beweis erschienen, wonach es keine Sudokus mit weniger als 17 Vorgaben gibt.

Mit dem Sudoku rechts kommt unser Programm `rek_prim` nicht zurende. Das leicht erweiterte Programm `rek_FNBWT` hingegen, welches zusätzlich zur Rekursion fortgesetzte Einschränkung mit den

Regeln *F*, *N*, *B*, *T*, *W* benützt, hat keine Probleme:

5		2				4		
			7	1				3
					4	6		
	7		2					
	1							
6					2			
				3			1	
4								

sdk 23

```

t0←sec∘ osDEB``zeig``(cΔsdk9_16_2),v←rek_FNBW Δsdk9_16_2 ∘osDEB 8 1⌈sec-t0
5 0 2 | 0 0 0 | 4 0 0 5 6 2 | 3 8 9 | 4 7 1 5 6 2 | 3 9 8 | 4 7 1
0 0 0 | 7 1 0 | 0 0 3 8 4 9 | 7 1 6 | 2 5 3 9 4 8 | 7 1 6 | 2 5 3
0 0 0 | 0 0 0 | 0 0 0 1 3 7 | 4 2 5 | 8 9 6 1 3 7 | 4 2 5 | 9 8 6
-----
0 0 0 | 0 0 4 | 6 0 0 3 5 8 | 1 9 4 | 6 2 7 3 5 9 | 1 8 4 | 6 2 7
0 7 0 | 2 0 0 | 0 0 0 9 7 4 | 2 6 3 | 1 8 5 8 7 4 | 2 6 3 | 1 9 5
0 1 0 | 0 0 0 | 0 0 0 2 1 6 | 8 5 7 | 3 4 9 2 1 6 | 9 5 7 | 3 4 8
-----
6 0 0 | 0 0 2 | 0 0 0 6 9 1 | 5 4 2 | 7 3 8 6 8 1 | 5 4 2 | 7 3 9
0 0 0 | 0 3 0 | 0 1 0 7 2 5 | 6 3 8 | 9 1 4 7 2 5 | 6 3 9 | 8 1 4
4 0 0 | 0 0 0 | 0 0 0 4 8 3 | 9 7 1 | 5 6 2 4 9 3 | 8 7 1 | 5 6 2
1 1 1 16 1 1 1 81 1 1 1 81
0.7

```

```

osDEB``zeig``(≠/v)×v
0 0 0 | 0 8 9 | 0 0 0 0 0 0 | 0 9 8 | 0 0 0
8 0 9 | 0 0 0 | 0 0 0 9 0 8 | 0 0 0 | 0 0 0
0 0 0 | 0 0 0 | 8 9 0 0 0 0 | 0 0 0 | 9 8 0
-----
0 0 8 | 0 9 0 | 0 0 0 0 0 9 | 0 8 0 | 0 0 0
9 0 0 | 0 0 0 | 0 8 0 8 0 0 | 0 0 0 | 0 9 0
0 0 0 | 8 0 0 | 0 0 9 0 0 0 | 9 0 0 | 0 0 8
-----
0 9 0 | 0 0 0 | 0 0 8 0 8 0 | 0 0 0 | 0 0 9
0 0 0 | 0 0 8 | 9 0 0 0 0 0 | 0 0 9 | 8 0 0
0 8 0 | 9 0 0 | 0 0 0 0 9 0 | 8 0 0 | 0 0 0
1 1 1 18 1 1 1 18

```

A Die beiden Lösungen
A entstehen auseinander durch
A Vertauschen von 8 und 9

```

[0] v_nm←rek_FNBW nm;side;a;min;Report;c;r;BKL;w;N;L;I;nmi;cc;base;tupel;nv3
[1] A-----
[2] A lv: Pseudosudoku-Name (lv: literaler Vektor)
[3] A v_nm: alle Vervollständigungen (Vektor von numerischen Matrizen)
[4] A-----
[5] Report←0
[6] tuplel←genTupel 1 2 3[1 4 9]⌈ρnm]
[7] v_nm←v0
[8] →(≠/konformZSB nm)/0 A Zeilen-/Spalten-/Block-Bedingung?
[9] →(≠/nm>0)/L_0 A noch nicht vollständig?
[10] v_nm←v_nm,cnm ∘ →0 A vollständig: Lösung hinzufügen
[11] L_0:
[12] side←ρnm ∘ BKL←genBKL nm
[13] nv3←7 7 7|side-2
[14] (BKL nm)←nv3 CPropFNBW BKL nm A constraint propagation
[15] →(≠/nm>0)/L_1 A noch nicht vollständig?
[16] v_nm←v_nm,cnm ∘ →0 A vollständig: Lösung hinzufügen
[17] L_1:
[18] a←,+/[1]BKL A a: Kandidatenzahlen
[19] min←l/a~0 A min: minimale (ausser 0)
[20] (c r)←1+(side,side)⌈-1+a~min A (c r): "row,column" erste Zelle mit
[21] A dieser minimalen Kandidatenzahl
[22] cc←w/ρw←BKL[;c;r] A cc: Kandidaten in dieser Zelle
[23] N←ρcc ∘ →(N=0)/0
[24] L←(NρLOOP),0 ∘ I←1
[25] LOOP:
[26] nmi←nm A Kandidaten einen nach dem andern
[27] nmi[c;r]←I∩cc A in (c,r) einsetzen
[28] v_nm←v_nm,rek_FNBW nmi A rekursiver Aufruf ("back tracking")
[29] →L[I←I+1]

```

Mit diesem Programm kann man auch nachweisen, dass es keine 4×4-Sudokus mit

weniger als 4 Vorgaben gibt. Hingegen fehlt es nicht an 4 × 4-Sudokus mit 4 Vorgaben.

6 L^AT_EX mit APL

APL eignet sich ausgezeichnet, um mit der `picture`-Umgebung von L^AT_EX Sudoku-Darstellungen zu erzeugen. Um z.B. das Sudoku `sdk_11` samt Kandidatenliste zu erhalten, genügen die untenstehenden Befehle. Dabei bedeutet `BKL_pos` die Liste der normal dargestellten, `BKL_neg` die der ausgekreuzten und `BKL_cir` die der eingekreisten Kandidaten. Das Programm `ZeigZiffernKandidatenLaTeX` erzeugt die gesamte `picture`-Umgebung. Das erste Linksargument (hier 8.5) bestimmt

die Zellengröße in mm, das zweite die Art der Fusszeile.

```

      zeig sdk11
0 9 0 | 0 0 8 | 1 6 0
0 0 1 | 7 0 0 | 9 2 0
2 0 6 | 0 1 0 | 0 0 3
-----
3 0 8 | 4 0 1 | 5 0 6
0 4 9 | 8 0 0 | 2 3 0
6 0 0 | 0 0 7 | 8 0 4
-----
8 0 0 | 6 4 0 | 0 0 9
0 0 0 | 0 7 2 | 6 0 0
0 6 7 | 1 8 0 | 0 5 2
1 1 1 40

```

Anschließend folgt ein Ausschnitt aus der erzeugten Textmatrix `lm`:

```

[0]      BKL_pos←genBKL sdk11
[1]      BKL_neg←9 9 9ρ0 ⋄ BKL_neg[4;3;6]←1
[2]      BKL_cir←9 9 9ρ0 ⋄ BKL_cir[4;3;7]←BKL_cir[4;3;8]←1
[3]      lm←8.5 2 ZeigZiffernKandidatenLaTeX 'sdk11' BKL_pos BKL_neg BKL_cir

[0] \setlength{\unitlength}{8.5mm}
[1] \begin{minipage}[t]{9\unitlength}
[2] \begin{picture}(9,9)
[3]   \linethickness{.1mm}
[4]   \multiput(0,0)(0,1){10}{\line(1,0){9}}
[5]   \multiput(0,0)(1,0){10}{\line(0,1){9}}
[6]   \linethickness{.3mm}
[7]   \multiput(0,0)(0,3){4}{\line(1,0){9}}
[8]   \multiput(0,0)(3,0){4}{\line(0,1){9}}
[9] % Feld (1,1)
[10]  \put(0.16666666666666666,8.5){\makebox(0,0){\scriptsize 4}}
[11]  \put(0.5,8.5){\makebox(0,0){\scriptsize 5}}
[12]  \put(0.16666666666666666,8.1666666666666666){\makebox(0,0){\scriptsize 7}}
[13] % Feld (1,2)
[14]  \put(1.5,8.5){\makebox(0,0){\textbf{\Large 9}}}
[15] .....
[16] % Feld (9,9)
[17]  \put(8.5,0.5){\makebox(0,0){\textbf{\Large 2}}}
[18] \end{picture}
[19] \vspace{2mm}
[20] \textbf{sdk} \thesdk \stepcounter{sdk} \hfill\rule{0pt}{0pt}
[21] \end{minipage}

```

Literatur

- [1] Bertram Felgenhauer and Frazer Jarvis: Enumerating possible Sudoku grids. URL: <http://www.afjarvis.staff.shef.ac.uk/sudoku/sudoku.pdf>
- [2] J. S. Fowler: A 9×9 sudoku solver and generator. URL: <http://www2.research.att.com/~gsf/sudoku/sudoku.html>
- [3] Urs Oswald: Sudoku - A Tutorial. URL: <http://www.ursoswald.ch/download/TUTORIAL.pdf>
- [4] Urs Oswald: Sudoku-Programme in Aufrufordnung. URL: <http://www.ursoswald.ch/download/APLSUDO PRGaufruf.pdf>
- [5] Urs Oswald: Sudoku-Programme in alphabetischer Ordnung. URL: <http://www.ursoswald.ch/download/APLSUDO PRGalphab.pdf>
- [6] Gary McGuire, Bastian Tugemann, Gilles Civarrio: There is no 16-Clue Sudoku: Solving the Sudoku Minimum Number of Clues Problem via Hitting Set Enumeration. URL: <http://www.arxiv.org/pdf/1201.0749.pdf>
- [7] Gordon Royle: A collection of 49,151 distinct sudoku configurations with 17 entries. URL: <http://www.csse.uwa.edu.au/~gordon/sudokumin.php>

Kontakt:

Dr. sc. math. (ETH) Urs Oswald
 Internet: <http://www.ursoswald.ch/>
 eMail: osurs@bluewin.ch

Urs Oswald

APL, Unicode und UTF-8

1 Unicode

Nach der Idee von *Unicode* soll jedem auf der Welt gebräuchlichen *Zeichen* (englisch: *character*) eine natürliche Zahl, also eine der Zahlen 0, 1, 2, . . . zugeordnet werden. Diese Zahl wird der *Codepunkt* (englisch: *codepoint*) des Zeichens genannt. Dabei ist „Zeichen“ im abstrakten Sinne zu verstehen. Zum Beispiel sieht der Großbuchstabe A verschieden aus, je nachdem, ob er in Arial, Courier, Tahoma, Fraktur oder von Hand geschrieben ist; es handelt sich aber immer um ein und dasselbe Zeichen. Unterschiedlich sind nur die *Glyphen*, mit denen es graphisch dargestellt wird. Andererseits werden in Unicode auch Zeichen einbezogen, die keine Glyphen haben, wie zum Beispiel der Tabulator (Codepunkt 9), der Zeilenvorschub (Line Feed, LF, Codepunkt 10), der Zeilenumbruch (Carriage Return, CR, Codepunkt 13) oder das Leerzeichen (Blank, Codepunkt 32). Für mehr Einzelheiten siehe zum Beispiel [2].

Die Zuordnung der Zeichen zu ihren Codepunkten soll umkehrbar eindeutig (bijektiv) erfolgen. Das heißt, dass nicht nur jedem Zeichen eindeutig ein Codepunkt, sondern auch zwei verschiedenem Zeichen immer zwei verschiedene Codepunkte zugeordnet werden. So führt jeder Codepunkt eindeutig zurück zu einem Zeichen. Die Sache wird aber dadurch kompliziert, dass ein

und dieselbe Glyphe verschiedene Zeichen ausdrücken kann. Zum Beispiel kommt die Glyphe H sowohl im lateinischen als auch im kyrillischen Alphabet vor. Der betreffende Buchstabe wird aber im kyrillischen Sprachbereich als N ausgesprochen. Man hat deshalb beschlossen, diese Glyphe als Darstellung zweier verschiedener Zeichen zu betrachten, welchen man die Codepunkte 72 und 1053 zuordnet.

Seit der Veröffentlichung von Unicode 2.0 im Juli 1996 wird für Codepunkte das Intervall 0, . . . , 1 114 111 vorgesehen. Von diesen 1 114 112 Zahlen sind 2 114 für Spezialzwecke blockiert, so dass schließlich 1 111 998 Codepunkte für Zeichen verbleiben.

Die Zahl 1 114 112 ergibt sich aus der Aufteilung des gesamten Bereiches in 17 *Ebenen* (englisch: *planes*) zu je 2^{16} aufeinanderfolgenden Zahlen: $1\,114\,112 = 17 \times 65\,536$.¹

Die Codepunkte der von den verschiedenen APL-Produkten verwendeten Zeichen liegen alle in der ersten Ebene; der höchste Codepunkt ist 9675 für das Kreissymbol \circ .

¹ Für mehr Einzelheiten siehe zum Beispiel [1].

2 APL und Unicode

Die verschiedenen APL-Produkte ordnen dem Atomic Vector die Unicode-Codepunkte in unterschiedlicher Weise zu. Wir bezeichnen die entsprechenden Vektoren gemäß ihrer Herkunft, zum Beispiel mit Δ_{avucAPX} (APLX), Δ_{avucIBM} (IBM-APL2), Δ_{avucWIN} (APL+WIN). In APL+Win erhält man:

```

      ΔavucWIN[⊞avl'Aop⋄']
65 9675 9076 8900

      ⊞av[ΔavucWIN⊞65 9675 9076 8900]
Aop⋄

```

Durch die Codepunkte 65, 9675, 9076 und 8900 ist nun die Zeichenfolge eindeutig bestimmt. Wer in APLX arbeitet, erhält mit denselben Codepunkten und mit Δ_{avucAPX}

```

      ⊞av[ΔavucAPX⊞65 9675 9076 8900]
Aop⋄

```

In IBM-APL2 ergeben dieselben Codepunkte mit Δ_{avucIBM}

```

      ⊞av[ΔavucIBM⊞65 9675 9076 8900]
Aop⋄

```

Um also zum Beispiel eine APL-Funktion von APL+Win nach APLX zu übertragen, braucht man nur den entsprechenden Vektor der Codepunkte auf irgendeine Weise (etwa als Text) zu übertragen. Die Abbildungsvektoren Δ_{avucAPX} , Δ_{avucIBM} und Δ_{avucWIN} lassen sich mit den folgenden drei APL-Funktionen `genUC_APX`, `genUC_IBM`, und `genUC_WIN` erzeugen:

```

[0] nv256←genUC_APX;w
[1] A-----
[2] A Quelle: http://www.microapl.com/apl_help/ch_210.htm
[3] A-----
[4] w←10
[5] w←w, 0 1 2 3 4 5 6 9040 8 9047 10 9031
[6] w←w, 9032 13 9073 9074 9042 9035 9021 9033 8854 9055 9014 9067
[7] w←w, 9038 9045 9024 9023 9053 9054 33 9017 32 168 41 60
[8] w←w, 8804 61 62 93 8744 94 8800 247 44 43 46 47
[9] w←w, 48 49 50 51 52 53 54 55 56 57 40 91
[10] w←w, 59 215 58 92 175 9082 8869 8745 8970 8714 95 8711
[11] w←w, 123 9075 8728 39 9109 124 8868 9675 42 63 9076 8968
[12] w←w, 126 8595 8746 9077 8835 8593 8834 8592 8866 8594 8805 45
[13] w←w, 8900 65 66 67 68 69 70 71 72 73 74 75
[14] w←w, 76 77 78 79 80 81 82 83 84 85 86 87
[15] w←w, 88 89 90 8710 8867 9066 36 125 128 129 130 131
[16] w←w, 132 133 134 135 136 137 138 139 140 141 142 143
[17] w←w, 9484 9488 9492 9496 9472 9474 9532 9500 9508 9524 9516 27
[18] w←w, 28 205 30 31 34 35 37 38 64 163 96 8801
[19] w←w, 8802 9079 9080 9019 9026 9060 9061 9015 196 197 199 201
[20] w←w, 209 214 220 225 224 226 228 227 229 231 233 232
[21] w←w, 234 235 237 236 238 239 241 243 242 244 246 245
[22] w←w, 250 249 251 252 192 195 213 338 339 198 230 9068
[23] w←w, 216 248 191 161 223 255 0 0 0 97 98 99
[24] w←w, 100 101 102 103 104 105 106 107 108 109 110 111
[25] w←w, 112 113 114 115 116 117 118 119 120 121 122 9049
[26] w←w, 200 8364 0 127 0 0 0 0 0 0 0 0
[27] nv256←256↑w

```

```

[0] nv256←genUC_IBM;w
[1] A-----
[2] A Quelle: erzeugt mit "Quad-UCS" in APL2
[3] A-----
[4] w←l0
[5] w←w, 0 1 2 3 4 5 6 7 8 9 10 11
[6] w←w, 12 13 14 15 16 17 18 19 20 21 22 23
[7] w←w, 24 25 26 27 28 29 30 31 32 33 34 35
[8] w←w, 36 37 38 39 40 41 42 43 44 45 46 47
[9] w←w, 48 49 50 51 52 53 54 55 56 57 58 59
[10] w←w, 60 61 62 63 64 65 66 67 68 69 70 71
[11] w←w, 72 73 74 75 76 77 78 79 80 81 82 83
[12] w←w, 84 85 86 87 88 89 90 91 92 93 94 95
[13] w←w, 96 97 98 99 100 101 102 103 104 105 106 107
[14] w←w, 108 109 110 111 112 113 114 115 116 117 118 119
[15] w←w, 120 121 122 123 124 125 126 127 128 129 130 131
[16] w←w, 132 133 134 135 136 137 138 139 140 141 142 143
[17] w←w, 144 145 146 147 148 149 150 151 152 153 154 155
[18] w←w, 156 157 158 159 160 161 162 163 164 165 166 167
[19] w←w, 168 169 170 171 172 173 174 175 176 177 178 179
[20] w←w, 180 181 182 183 184 185 186 187 188 189 190 191
[21] w←w, 192 193 194 195 196 197 198 199 200 201 202 203
[22] w←w, 204 205 206 207 208 209 210 211 212 213 214 215
[23] w←w, 216 217 218 219 220 221 222 223 224 225 226 227
[24] w←w, 228 229 230 231 232 233 234 235 236 237 238 239
[25] w←w, 240 241 242 243 244 245 246 247 248 249 250 251
[26] w←w, 252 253 254 255 256 257 258 259 260 261 262 263
[27] nv256←256↑w

```

```

[0] nv256←genUC_WIN;w
[1] A-----
[2] A Quelle: http://aplwiki.com/AplToUnicode
[3] A korrigierte Version
[4] A-----
[5] w←l0
[6] w←w, 0 0 8364 9079 8900 168 8592 7 8 9 10 8834
[7] w←w, 12 13 8835 9055 229 230 236 9067 249 242 9068 9077
[8] w←w, 8593 8595 8594 27 8867 8866 9035 9042 32 33 34 35
[9] w←w, 36 37 38 39 40 41 42 43 44 45 46 47
[10] w←w, 48 49 50 51 52 53 54 55 56 57 58 59
[11] w←w, 60 61 62 63 64 65 66 67 68 69 70 71
[12] w←w, 72 73 74 75 76 77 78 79 80 81 82 83
[13] w←w, 84 85 86 87 88 89 90 91 92 93 94 95
[14] w←w, 96 97 98 99 100 101 102 103 104 105 106 107
[15] w←w, 108 109 110 111 112 113 114 115 116 117 118 119
[16] w←w, 120 121 122 123 166 125 126 8802 199 252 233 226
[17] w←w, 228 229 8800 231 234 235 232 239 238 8968 196 8970
[18] w←w, 201 8710 215 244 246 9109 251 9054 9017 214 220 162
[19] w←w, 163 165 9066 9064 225 237 243 250 241 209 9053 9024
[20] w←w, 191 9015 337 248 253 161 171 187 9109 9109 9109 0
[21] w←w, 0 0 0 43 43 0 0 43 43 43 43 43
[22] w←w, 192 193 194 195 196 197 198 199 200 201 202 203
[23] w←w, 204 205 206 207 45 209 210 211 212 213 214 43
[24] w←w, 216 217 218 219 220 221 0 255 9082 223 9075 9060
[25] w←w, 227 9073 8869 8868 9021 8854 9074 9023 8711 9033 8714 8745
[26] w←w, 8801 9049 8805 8804 9045 9038 247 34 8728 9675 8744 9076
[27] w←w, 8746 175 124 0 0 0 0 0 0 0 0 0
[28] nv256←256↑w

```

Da der Diamant an unterschiedlichen Stellen des Atomic Vector untergebracht ist, kann mit der folgenden Funktion automatisch der richtige Zuordnungsvektor erzeugt werden.:

```

[0] nv256←genUC
[1] A-----
[2] →(69 216 4 = (-⊖io)+⊖avl'◇')/L_APX,L_IBM,L_WIN
[3] L_APX: nv256←genUC_APX ◇ →0
[4] L_IBM: nv256←genUC_IBM ◇ →0
[5] L_WIN: nv256←genUC_WIN

```

2.1 Vergleich der Codepunkt-Vektoren

Wie unten ersichtlich ist, enthalten $\Delta\text{avucAPX}$, $\Delta\text{avucIBM}$ und $\Delta\text{avucWIN}$ insgesamt 316 verschiedene Codepunkte. Diese können in 7 paarweise elementfremde Gebiete $\Delta\text{avuc_001}$, $\Delta\text{avuc_010}$, $\Delta\text{avuc_011}$, $\Delta\text{avuc_100}$,

$\Delta\text{avuc_101}$, $\Delta\text{avuc_110}$, $\Delta\text{avuc_111}$ aufgeteilt werden. Die Indizes 1, 0, 1 bedeuten zum Beispiel, dass $\Delta\text{avuc_101}$ genau die Codepunkte enthält, welche in $\Delta\text{avucAPX}$ und $\Delta\text{avucWIN}$, nicht aber in $\Delta\text{avucIBM}$ vorkommen.

```

      ρnub ΔavucAPX,ΔavucIBM,ΔavucWIN
316
      av,anz←,⊃ρ''ϕ''c[2]av←'Δavuc_'ANFANG ⌈n1 2
Δavuc_001      20      A nur ΔavucWIN
Δavuc_010      39      A nur ΔavucIBM
Δavuc_011       5      A nicht ΔavucAPX
Δavuc_100      24      A nur ΔavucAPX
Δavuc_101      16      A nicht ΔavucIBM
Δavuc_110      25      A nicht ΔavucWIN
Δavuc_111     187      A allen gemeinsam
      anz
20 39 5 24 16 25 187
      +/anz
316

```

Die Indizes 1, 1, 0 bedeuten, dass $\Delta\text{avuc_110}$ genau diejenigen Codepunkte enthält, welche in $\Delta\text{avucAPX}$ und

$\Delta\text{avucIBM}$, nicht aber in $\Delta\text{avucWIN}$ vorkommen, was sich unten bestätigt.

```

      ^/Δavuc_110∈avuc←((ΔavucAPX∈ΔavucIBM)/ΔavucAPX)~ΔavucWIN
1
      ^/avuc∈Δavuc_110
1

```

Wichtig für die möglichst uneingeschränkte Portierbarkeit ist $\Delta\text{avuc_111}$. Die darin enthaltenen 187 Codepunkte, bzw. die zugehörigen Zeichen können in allen drei Produkten verwendet werden. Allerdings ist dies nur eine notwendige, aber keine hinreichende Bedingung. Es ist zu berücksichtigen, dass sich bekanntlich die Produkte APLX, IBM-APL2 und APL+Win auch in

Bezug auf viele weitere Eigenschaften unterscheiden, wie zum Beispiel

- Kontrollstrukturen,
- Systemfunktionen oder
- Hilfsprozessoren (Auxiliary Processors)

Die folgende Tabelle zeigt die in $\Delta_{\text{avuc}}_{111}$ enthaltenen Codepunkte mit Ausnahme von 0, 8, 10, 13 und 27 (9 ist nicht in $\Delta_{\text{avuc}}_{\text{APX}}$ enthalten), welche

keine Glyphen darstellen. Sie umfasst $187 - 5 = 182$ Codepunkte. Die 5 Spalten bedeuten:

(1) Codepunkt, (2) Zeichen, (3) AV-Index in APX, (4) AV-Index in IBM, (5) AV-Index in WIN. Die AV-Indizes sind auf $\square_{i0}=0$ bezogen.

32		32	32	32		78	N	110	78	78		124		77	124	254		8711	▽	71	183	236
33	!	30	33	33		79	O	111	79	79		125	}	127	125	125		8714	€	69	238	238
34	"	160	34	34		80	P	112	80	80		126	~	84	126	126		8728	°	74	248	248
35	#	161	35	35		81	Q	113	81	81		161	i	219	173	173		8744	▽	40	235	250
36	\$	126	36	36		82	R	114	82	82		163	£	165	156	156		8745	∩	67	239	239
37	%	162	37	37		83	S	115	83	83		168	¨	33	254	5		8746	U	86	172	252
38	&	163	38	38		84	T	116	84	84		175	-	64	253	253		8800	≠	42	244	134
39	'	75	39	39		85	U	117	85	85		191	¿	218	168	168		8801	≡	167	207	240
40	(58	40	40		86	V	118	86	86		196	Ä	176	142	142		8804	≤	36	243	243
41)	34	41	41		87	W	119	87	87		197	Å	177	143	197		8805	≥	94	242	242
42	★	80	42	42		88	X	120	88	88		199	Ç	178	128	128		8834	◁	90	226	11
43	+	45	43	43		89	Y	121	89	89		209	Ñ	180	165	165		8835	▷	88	227	14
44	,	44	44	44		90	Z	122	90	90		214	Ö	181	153	153		8854	⊖	20	233	233
45	-	95	45	45		91	[59	91	91		215	×	61	245	146		8866	⊢	92	214	29
46	.	46	46	46		92	\	63	92	92		220	Ü	182	154	154		8867	→	124	215	28
47	/	47	47	47		93]	39	93	93		223	ß	220	225	225		8868	⊤	78	152	231
48	0	48	48	48		94	^	41	94	94		224	à	184	133	133		8869	⊥	66	157	230
49	1	49	49	49		95	_	70	95	95		225	á	183	160	160		8900	◇	96	216	4
50	2	50	50	50		96	`	166	96	96		226	â	185	131	131		8968	Γ	83	169	141
51	3	51	51	51		97	a	225	97	97		228	ä	186	132	132		8970	ℓ	68	190	143
52	4	52	52	52		98	b	226	98	98		229	å	188	134	16		9015	▯	175	211	169
53	5	53	53	53		99	c	227	99	99		231	ç	189	135	135		9017	▯	31	146	152
54	6	54	54	54		100	d	228	100	100		232	è	191	138	138		9021	Φ	18	232	232
55	7	55	55	55		101	e	229	101	101		233	é	190	130	130		9023	≠	27	240	235
56	8	56	56	56		102	f	230	102	102		234	ê	192	136	136		9024	≠	26	241	167
57	9	57	57	57		103	g	231	103	103		235	ë	193	137	137		9033	⊗	19	237	237
58	:	62	58	58		104	h	232	104	104		236	ì	195	141	18		9035	⊕	17	251	30
59	;	60	59	59		105	i	233	105	105		237	í	194	161	161		9038	⊕	24	175	245
60	<	35	60	60		106	j	234	106	106		238	î	196	140	140		9042	⊖	16	252	31
61	=	37	61	61		107	k	235	107	107		239	ï	197	139	139		9045	⊖	25	174	244
62	>	38	62	62		108	l	236	108	108		241	ñ	198	164	164		9049	△	251	247	241
63	?	81	63	63		109	m	237	109	109		242	ò	200	149	21		9053	⊖	28	228	166
64	@	164	64	64		110	n	238	110	110		243	ó	199	162	162		9054	▯	29	145	151
65	A	97	65	65		111	o	239	111	111		244	ô	201	147	147		9055	⊗	21	181	15
66	B	98	66	66		112	p	240	112	112		246	ö	202	148	148		9067	⊖	23	250	19
67	C	99	67	67		113	q	241	113	113		247	÷	43	246	246		9073	⊖	14	231	229
68	D	100	68	68		114	r	242	114	114		248	ø	217	155	171		9074	★	15	229	234
69	E	101	69	69		115	s	243	115	115		249	ù	205	151	20		9075	ℓ	73	236	226
70	F	102	70	70		116	t	244	116	116		250	ú	204	163	163		9076	ρ	82	230	251
71	G	103	71	71		117	u	245	117	117		251	û	206	150	150		9077	ω	87	249	23
72	H	104	72	72		118	v	246	118	118		252	ü	207	129	129		9079	≤	169	209	3
73	I	105	73	73		119	w	247	119	119		8592	←	91	189	6		9082	α	65	224	224
74	J	106	74	74		120	x	248	120	120		8593	↑	89	198	24		9109	▯	76	144	149
75	K	107	75	75		121	y	249	121	121		8594	→	93	184	26		9675	○	79	234	249
76	L	108	76	76		122	z	250	122	122		8595	↓	85	199	25						
77	M	109	77	77		123	{	72	123	123		8710	Δ	123	182	145						

Die Codepunkte in den übrigen 6 Gebieten der Partition sind unten ersichtlich:

```

----- Δavuc_110
      ⍵←pcp←Δavuc_110 ⋄ cp                A nicht in APL+Win
25
1 2 3 4 5 6 28 30 31 127 9014 9019 9026 9080 9472 9474 9484 9488 9492 9496 9500
  9508 9516 9524 9532
      ⍵←pcp←(Δavuc_110>126)/Δavuc_110 ⋄ cp                A darstellbar
16
127 9014 9019 9026 9080 9472 9474 9484 9488 9492 9496 9500 9508 9516 9524 9532
Ɽ  ⱥ  ⱦ  Ⱨ  ⱨ  Ⱪ  ⱪ  ⱬ  Ɑ  Ɱ  Ɐ  Ɒ  ⱱ  Ⱳ  ⱳ  ⱴ
----- Δavuc_101
      ⍵←pcp←Δavuc_101 ⋄ cp                A nicht in IBM-APL  alle darstellbar
16
192 195 198 200 201 205 213 216 227 230 255 8364 8802 9060 9066 9068
À  Ã  Ä  È  É  Í  Æ  Ø  Ñ  Ò  Ó  Ô  Õ  Ö  Ù  Þ
----- Δavuc_100
      ⍵←pcp←Δavuc_100 ⋄ cp                A nur APLX
24
128 129 130 131 132 133 134 135 136 137 138 139 140 141 142 143 245 338 339 9031
  9032 9040 9047 9061
      ⍵←pcp←(Δavuc_100>143)/Δavuc_100 ⋄ cp                A darstellbar
8
245 338 339 9031 9032 9040 9047 9061
ö  œ  æ  ☒  ☓  ☔  ☕  ö
----- Δavuc_011
      ⍵←pcp←Δavuc_011 ⋄ cp                A nicht in APLX
5
7 9 12 166 204
      ⍵←pcp←Δavuc_011~7 9 12 ⋄ cp                A darstellbar
2
166 204
ı  ì
----- Δavuc_010
      ⍵←pcp←Δavuc_010 ⋄ cp                A nur IBM-APL2
39
11 14 15 16 17 18 19 20 21 22 23 24 25 26 29 160 170 172 186 189 8359 8757 9552
  9553 9556 9559 9562 9565 9568 9571 9574 9577 9580 9600 9604 9608 9617 9618
  9619
      ⍵←pcp←(Δavuc_010>160)/Δavuc_010 ⋄ cp                A darstellbar
23
170 172 186 189 8359 8757 9552 9553 9556 9559 9562 9565 9568 9571 9574 9577 9580
ª  ¬  °  ½  ₠  ∴  =  ∥  ₣  ¶  ₧  ₨  ₩  ₪  ₫  €  ₭  ₮
  9600 9604 9608 9617 9618 9619
  ■  ■  ■  ▨  ▩  ▪
----- Δavuc_001
      ⍵←pcp←Δavuc_001 ⋄ cp                A nur APL+Win  alle darstellbar
20
162 165 171 187 193 194 202 203 206 207 210 211 212 217 218 219 221 253 337 9064
¢  ¥  «  »  Á  Â  Ê  Ë  Î  Ï  Ò  Ó  Ô  Ù  Ú  Û  Ý  ŷ  õ  ÷

```


2.2 Zeichen in Codepunkte, Codepunkte in Zeichen

Es folgen zwei Funktionen, welche Zeichen in Codepunkte und diese wiederum zurück in Zeichen verwandeln können.

```
[0] na←nv UCausCHARS la
[1] A-----
[2] A nv: ΔavucWIN / ΔavucIBM / ΔavucX (Default: ΔavucWIN)
[3] A la: literal array
[4] A na: numerical array (Unicode-Codepunkte von la)
[5] A l: ΔavucWIN
[6] A-----
[7] →(2=⊖nc'nv')/L_0 ⋄ nv←ΔavucWIN
[8] L_0: na←nv[⊖av\la]
```

```
[0] la←nv CHARsausUC na
[1] A-----
[2] A nv: ΔavucWIN / ΔavucIBM / ΔavucX (Default: ΔavucWIN)
[3] A na: numerical array (Codepunkte)
[4] A la: literal array (APL-Zeichen aufgrund von nv; Default ΔavucWIN)
[5] A l: ΔavucWIN
[6] A-----
[7] la←' ' ⋄ →(0=ρna)/0
[8] →(2=⊖nc'nv')/L_0 ⋄ nv←ΔavucWIN
[9] L_0: la←⊖av[nv\la]
```

Zunächst könnte es vielleicht scheinen, dass diese Programme überflüssig sind. Ihr Nutzen liegt aber vor allem darin, dass sie zusammen mit `each` angewendet werden können.

2.3 Bemerkungen zu `Δavutf8`

In [4] wird für APL+Win der Vektor `Δavutf8` präsentiert, welcher dieselbe Funktion wie `ΔavucWIN` hat. Die Benützung führt jedoch zu ernsthaften Problemen. Es geht mir dabei nicht um Kritik, sondern um Schwierigkeiten, welche bei der Koppelung von `⊖av` mit Unicode entstehen können.

Zunächst ist die Bezeichnung irreführend, da UTF-8 bei der Koppelung von APL-Zeichen mit Codepunkten nicht im Spiel ist. Probleme können dadurch entstehen, dass die Zuordnung `⊖av1→Unicode` zwar eindeutig, aber nicht umkehrbar eindeutig ist. Im Folgenden wird das Programm `timestamp` über eine Textkette in einen numerischen Vektor von Codepunkten

und anschließend zurück in die ursprüngliche `⊖cr`-Matrix verwandelt, worauf diese mit `⊖fx` wieder aktiviert wird. Der Prozess scheint gelungen:

```
timestamp
13.09.2014/18:36

ρlv0←,⊖av[⊖io+13],⊖cr'timestamp'
1275 ρuc←Δavutf8[⊖av\lv0]
1275 lv←⊖av[Δavutf8\uc]
      ⊖fx ⊃splitSS lv
timestamp
```

Bei der Ausführung tritt jedoch ein Fehler auf:

```
timestamp
SYNTAX ERROR
timestamp[13] TIME← 2 0 ¯100|⊖TS[4 5] ⋄
      (lv≠lv0)/lv ⋄ (lv≠lv0)/lv0
      ^
      |
```

Am Bildschirm ist der Fehler nicht ersichtlich. Erst die zusätzliche Abfrage macht klar, dass `⊖av[⊖io+254]` in `⊖av[⊖io+179]` verwandelt worden ist:

```

      (-⊖io)+⊖av⊖(lv≠lv0)/lv0      A in der ursprünglichen Funktion: 254
254      (-⊖io)+⊖av⊖(lv≠lv0)/lv      A in der transformierten Funktion: 179
179      (-⊖io)+⊖av⊖'!'
254      Δavutf8[⊖av⊖'!']          A Eingabe ab Tastatur
124      Δavutf8[⊖av⊖'!']          A Codepunkt: 124 ...

```

Die beiden intern verschiedenen Zeichen sehen am Bildschirm gleich aus. Die Eingabe am Bildschirm produziert `⊖av[⊖io+254]`. `Δavutf8` bildet beide auf den Codepoint 124 ab. Insgesamt werden 8 Zeichen auf 124 abgebildet:

```

      (-⊖io)+(Δavutf8=124)/⊖Δavutf8      A ... kommt 8mal vor in Δavutf8
179 180 181 182 185 186 222 254
      ⊖uc124←⊖av[⊖io+179 180 181 182 185 186 222 254]
      | | | | | | | |

```

Am Bildschirm sehen alle gleich aus, aber intern sind sie alle voneinander verschieden:

```

      uc124°.uc124
1 0 0 0 0 0 0 0
0 1 0 0 0 0 0 0
0 0 1 0 0 0 0 0
0 0 0 1 0 0 0 0
0 0 0 0 1 0 0 0
0 0 0 0 0 1 0 0
0 0 0 0 0 0 1 0
0 0 0 0 0 0 0 1
0 0 0 0 0 0 0 0
      A Zeichen sehen alle gleich aus,
      A sind aber intern alle
      A voneinander verschieden!

```

Der Bildschirm ist ein Gleichmacher, doch `execute` stolpert über die interne Verschiedenheit:

```

      i←1 ⋄ '5',(i>uc124),'42'
5|42
      5|42
2
      i←1 ⋄ ⍥'5',(i>uc124),'42'
SYNTAX ERROR
⍥ 5|42
      ^

```

Durch Ausprobieren zeigt sich, dass sich `execute` nur mit `⊖av[⊖io+254]` zufrieden gibt:

```

      i←8 ⋄ '5',(i>uc124),'42'
5|42
5|42
2
      i←8 ⋄ ⍥'5',(i>uc124),'42'      A Nur 8>uc kann zusammen mit ⍥ verwendet werden
2

```

Da das verwendete `iota` bei der Rückverwandlung den *ersten* der 8 Codepunkte 124 berücksichtigt, kann das Problem gelöst werden, indem man an den vorgängigen Stellen (`⊖io+179 180 181 182 185 186 222`)

`Δavutf8` auf 0 setzt. Wiederholungen in `Δavutf8` sorgen auf dem Bildschirm für dieselben Glyphen. Das Additionszeichen erscheint 9 mal, `⊖` 4 mal. Auch das Minus- und das Fragezeichen wiederholen sich:

```

      ⊖av[av⊖uc],[1]uc,[.5]+/⊖av°.uc←nub (1<+/av°.av)/av←Δavutf8
      ⍥ " + - ? Ç Ä É ⊖ Ö Ü Ñ |
0 9067 34 43 45 63 199 196 201 9109 214 220 209 124
2 2 2 9 2 2 2 2 2 4 2 2 2 8

```

Es zeigt sich aber, dass hier nichts zu korrigieren ist. Denn diese Zeichen sind, sofern APL-wirksam, je an der ersten Stelle mit dem betreffenden Codepunkt untergebracht:

```

43 45 63 149      (-Dio)+Davl'+-?D'      A +?-?: über die Tastatur eingegeben
                  A "richtige" Dav-Indizes von +, -, ?, D

                  DAvutf8[Davl'+-?D']      A entsprechende Codepunkte
43 45 63 9109
uc,[.5]+/(uc+43 45 63 9109)°. =DAvutf8    A Vielfachheiten
43 45 63 9109
9 2 2 4

                  (-Dio)+DAvutf8l 43 45 63 9109 A l erwischt die "richtigen" Stellen
43 45 63 149

```

Wiederum erweist sich der Bildschirm als Gleichmacher, der nur auf die Glyphen reagiert. Wenn wir eine Zeile kopieren und mit der Glyphen `□` vergleichen, spielt der interne Unterschied keine Rolle:

```
ind←(-1+1256)~0 7 8 9 10 12 13 27 255
Dav[Oio+ind]
Λ€ε<〇〃←C>θāæiʀûðøω↑→⊢Δϕ !"#$%&'()*+,./0123456789;<=>?@ABCDEFGHIJKLMNPOQRSTUVWXYZ[\]^_`abcdefghijklmnopqrstuvwxyz{|}~≠Çüëäää#çèëëïíĴĂĚΔ×δōēūņēŲčŁ¥ž,~áíóúnÑÀ×Ĭ∅ōýı«»□□□| | | ++||++++ÅÄÅÄÅÄÆÇÈÉÊËİîİï-ÑÒÓÔÕÖ÷ØÙÚÜÝıÿαβιːă▼└ΦΘΛ✱
▽QЄnєΔ≥≤ℙ♣÷°•ovpu-|

+/'óúñÑÀ×ı∅ōýı«»□□□| | | ++||++++ÅÄÅÄÅÄÆÇÈÉÊËİîİï-'='□'
```

Es folgt eine Liste sämtlicher nötiger Korrekturen:

```
w[io+157]+165      A Y
w[io+179 180 181 182 185 186 222]+0  A ' ' ist av[io+254]
w[io+239]+8745     A '
w[io+252]+8746     A U
w[io+1 2 16 17 18 20 21 127]+0 8364 229 230 236 249 242 8802
A      €      ä      æ      ì      ù      ò      ≠
```

Als nächstes testen wir den korrigierten Vektor, Δ_{avucWIN} , an einem zufallsgenerierten Textvektor:

```

    □←lv0←□av[□io+ii0←+1+17?256]
z?b0»▼ZBJÊP:mi+>
    □←uc←ΔavucWIN[□avllv0]
122 63 98 48 187 9073 90 66 74 202 80 58 109 236 43 92 62
    lv0≡lv←□av[ΔavucWIN\uc]
0
    lv0,[.5]lv
z?b0»▼ZBJÊP:mi+>
z?b0»▼ZBJÊP:mi+>
    ii0,[.5](-□io)+□avllv
122 63 98 48 175 229 90 66 74 202 80 58 109 18 190 92 62
122 63 98 48 175 229 90 66 74 202 80 58 109 18 43 92 62

```

Wir haben die uns schon bekannte Situation, dass lv0 und lv auf dem Bildschirm gleich aussehen, aber intern verschieden sind. Es folgen noch die Details:

```

    □av[□io+190 43]
++
    =/□av[□io+190 43]
0
    ΔavucWIN[□io+190 43]
43 43
    (-□io)+(ΔavucWIN=43)/lpΔavucWIN
43 183 184 187 188 189 190 191 215
    □av[□io+43 183 184 187 188 189 190 191 215]
+++++++

```

Durch unsere Korekturen haben wir aber erreicht, dass $\Delta\text{avucWIN}$ diejenigen Zeichen (und nicht nur die Glyphen) richtig abbildet, welche APL-wirksam sind. Bei $\Delta\text{avucAPX}$ und $\Delta\text{avucIBM}$ entstehen

keine vergleichbaren Probleme. Im ersten tritt nur der Codepunkt 0 mehrmals auf, im letzteren gibt es überhaupt keine Wiederholungen:

```

acuv←ΔavucAPX~0
^/1=+/acuv°. =acuv
1
+ /ΔavucAPX=0
5
^/1=+/ΔavucIBM°. =ΔavucIBM
1

```

Wir fügen noch die Funktion `timestamp` sowie die Unterfunktion `subL` an:

```

[0] lv16←timestamp;d;t
[1] A-----
[2] A lv16: z.B. 17.09.2014/06:57
[3] A-----
[4] d← 2 0 2 0 4 0 ¯⊥ts[3 2 1] ⋄ d←d subL ' 0' A d: date
[5] d← 1 1 0 1 1 0 1 1 1 1\ d ⋄ d[3 6]←'.'
[6] t← 2 0 ¯⊥100|⊥ts[4 5] ⋄ t←t subL ' 0' A t: time
[7] t← 1 1 0 1 1 \t ⋄ t[3]←':'
[8] lv16←d, '/',t

```

```

[0] la←la subL lv2;dim;ind
[1] A-----
[2] A ersetzt in la das Zeichen lv2[1] durch lv2[2]
[3] A la: literal array (simple)
[4] A lv2: literal vector of length 2
[5] A-----
[6] dim←⍥la ⋄ la←,la ⋄ ind←(la ⍳ lv2[1])/⍥la ⋄ la[ind]←lv2[2] ⋄ la←dimpla

```

3 UTF-8

3.1 Die UTF-8-Kodierung

UTF-8 ist eine Kodierungsmethode für natürliche Zahlen (inklusive 0), welche je nach Zahlgröße ein bis vier Bytes erfordert. Im folgenden Kodierungsschema bezeichnet x die für die Binärdarstellung zur Verfügung stehenden Stellen; deren Anzahl stimmt mit dem Exponenten der Zweierpotenz überein. Jeder Codepunkt muss mit möglichst wenigen Bytes dargestellt werden. Ohne diese einschränkende Vorschrift könnte man zum Beispiel 128 sowohl

mit 2 Bytes als 11000010 10000000 (korrekt), als auch mit 3 Bytes als 11100000 10000010 10000000 (unzulässig) darstellen. (Auch 11110000 10000000 10000010 10000000 wäre möglich.) Das erste Byte einer Zeichendarstellung wird *Startbyte* genannt, die übrigen heißen *Folgebytes*. Folgebytes sind dadurch gekennzeichnet, dass sie mit 10 beginnen; Startbytes beginnen entweder mit 0 oder mit mehr als einer Eins.

Mit diesen 4 Bytes können Zahlen von 0 bis $2^{21} - 1 = 2\,097\,151$ (1FFFFFF HEX) kodiert werden, also rund doppelt so viel als

die 1114112, die (inklusive Sonderfunktionen) für Unicode vorgesehen sind.

Bytes	Schema	Maximum (DEZ)	Maxim. (HEX)
1	0xxxxxxx	$2^7 - 1 = 127$	7F
2	110xxxxx 10xxxxxx	$2^{11} - 1 = 2\,047$	7FF
3	1110xxxx 10xxxxxx 10xxxxxx	$2^{16} - 1 = 65\,535$	FFFF
4	11110xxx 10xxxxxx 10xxxxxx 10xxxxxx	$2^{21} - 1 = 2\,097\,151$	1FFFFFF

3.2 UTF-8 aus Codepunkten

Bei gegebenem Codepunkt cp wird zunächst die Anzahl n der benötigten Bytes bestimmt. Dann wird für jedes Byte die Anzahl der führenden Einsen sowie der für die Binärdarstellung zur Verfügung stehenden Stellen berechnet:

```

      cp←8900
      □←n←1++/128 2048 65536≤cp
3
      □←e←1+n↑(n-1)
3 1 1
      □←x←8-1+e
4 6 6

```

A cp: Codepunkt
A n: #Bytes
A e: #führende Einsen
A x: #Binärstellen

Als Nächstes werden die Köpfe der Bytes sowie die schon verteilten Binärstellen erhalten:

```

      ldisplay 8↑“(e+1)↑“(e/ln)∘(+/e)ρ1
      |-----|
      |.→-----|
      |1 1 1 0 0 0 0 0||1 0 0 0 0 0 0 0||1 0 0 0 0 0 0 0||
      |'~-----|
      |ε-----|
      ldisplay ~8↑“(x/ln)∘((+/x)ρ2)⌈cp
      |-----|
      |.→-----|
      |0 0 0 0 0 0 1 0||0 0 0 0 1 0 1 1||0 0 0 0 0 1 0 0||
      |'~-----|
      |ε-----|

```

Die beiden Teile werden vereinigt:

```

      ldisplay (8↑“(e/ln)∘(+/e)ρ1)∨~8↑“(x/ln)∘((+/x)ρ2)⌈cp
      |-----|
      |.→-----|
      |1 1 1 0 0 0 1 0||1 0 0 0 1 0 1 1||1 0 0 0 0 1 0 0||
      |'~-----|
      |ε-----|

```

Die APL-Funktion `UTF8ausUC 4` führt diese Schritte aus und verwandelt am Ende noch den Vektor von booleschen Vektoren mit \in in einen einzigen booleschen Vektor.

```
[0] bv←UTF8ausUC_4 ns;cp;n;e;x;w
[1] A-----
[2] A ns: cp Codepunkt
[3] A bv: UTF-8-Kodierung von cp
[4] A-----
[5] n←1++/128 2048 65536≤cp+ns          A cp: Codepunkt n: #Bytes
[6] →(n>1)/L_0 ⋄ bv←(8ρ2)⊔cp ⋄ →0      A mehr als 1 Byte?
[7] L_0:
[8]   e←1+n↑n-1                        A anfängliche Einsen
[9]   x←8-1+e                          A bedeutsame Stellen
[10] bv←ε(8↑⋄(e/1n)⋄(+/e)ρ1)∨-8↑⋄(x/1n)⋄((+/x)ρ2)⊔cp
```

Die Zahlen von 0 bis 127 brauchen 1 Byte:

```
cp←0 ⋄ b←(÷8)×n+ρbv←UTF8ausUC_4 cp ⋄ zeigV_BV (8/1b)⋄bv
00000000
cp←127 ⋄ b←(÷8)×n+ρbv←UTF8ausUC_4 cp ⋄ zeigV_BV (8/1b)⋄bv
01111111
```

Die Zahlen von 128 bis 2047 brauchen 2 Byte:

```
cp←128 ⋄ b←(÷8)×n+ρbv←UTF8ausUC_4 cp ⋄ zeigV_BV (8/1b)⋄bv
11000010 10000000
cp←2047 ⋄ b←(÷8)×n+ρbv←UTF8ausUC_4 cp ⋄ zeigV_BV (8/1b)⋄bv
11011111 10111111
```

Die Zahlen von 2048 bis 65535 brauchen 3 Byte:

```
cp←2048 ⋄ b←(÷8)×n+ρbv←UTF8ausUC_4 cp ⋄ zeigV_BV (8/1b)⋄bv
11100000 10100000 10000000
cp←65535 ⋄ b←(÷8)×n+ρbv←UTF8ausUC_4 cp ⋄ zeigV_BV (8/1b)⋄bv
11101111 10111111 10111111
```

Die Zahlen von 65536 bis 2 097 151 brauchen 4 Byte:

```
cp←65536 ⋄ b←(÷8)×n+ρbv←UTF8ausUC_4 cp ⋄ zeigV_BV (8/1b)⋄bv
11110000 10010000 10000000 10000000
cp←2097149 ⋄ b←(÷8)×n+ρbv←UTF8ausUC_4 cp ⋄ zeigV_BV (8/1b)⋄bv
11110111 10111111 10111111 10111101
cp←2097150 ⋄ b←(÷8)×n+ρbv←UTF8ausUC_4 cp ⋄ zeigV_BV (8/1b)⋄bv
11110111 10111111 10111111 10111110
cp←2097151 ⋄ b←(÷8)×n+ρbv←UTF8ausUC_4 cp ⋄ zeigV_BV (8/1b)⋄bv
11110111 10111111 10111111 10111111
```

3.3 Codepunkte aus UTF-8

Als Beispiel nehmen wir die UTF-8-Binärfolge

```

-
-
bv
0 1 1 0 0 0 0 1 1 1 1 0 0 0 1 0 1 0 0 0 0 1 1 0 1 0 0 1 0 0 0 0 0 0 1 1 0 0 0 1
0 0 1 1 0 1 0 1 0 1 0 0 1 0 0 0 0 1 1 1 0 0 0 1 0 1 0 0 0 1 0 1 1 1 0 0 0 0
1 0 0 0 0 1 0 0 0 0 0 0 1 1 0 0 0 1 0 1 1 0 0 0 1 0 1 0 0 0 1 1 0 1 0 0
0 1 0 0 0 0 0 0 1 1 0 0 1 0 1 1 1 0 0 0 1 0 1 0 0 1 0 1 1 1 0 0 0 1 0 1
1 1 1 1 0 0 0 1 0 1 0 0 1 0 1 1 1 1 0 0 0 1 0 1 1 1 0 0 1 0 1 1 1 0 0 0 1 1
0 0 1 0 0 0 1 1 0 1 0 1
```

Zunächst wird die Anzahl der führenden Einsen pro Byte bestimmt. Es handelt sich dann (und nur dann) um ein Startbyte (s), wenn diese Anzahl von 1 verschieden ist.


```

      bm←(⊖8,(ρbv)÷8)ρbv          A bm: jede Zeile von bm ein Byte
      □←e+÷/∧\bm                A e: je #anfängliche Einsen
0 3 1 1 0 0 0 3 1 1 0 0 3 1 1 0 3 1 1 3 1 1 0 0 0

      □←s←e≠1                    A Ist das Byte ein Startbyte?
1 1 0 0 1 1 1 1 0 0 1 1 1 0 0 1 1 0 0 1 0 0 1 1 1

```

Nun wird die Zuordnung der Byte und der Bit zu den Zeichen ermittelt. Aufgrund dieser Zuordnung wird `bv` in einen Vektor `v_bv` von Binärfolgen verwandelt, von denen jede ein Zeichen bestimmt.

```

      +\s                        A Zuteilung Byte -> Zeichen
1 2 2 2 3 4 5 6 6 6 7 8 9 9 9 10 11 11 11 12 12 12 13 14 15

      nv_part←8/÷\s              A nv_part: Partitionsvektor für Bits
      zeigV_BV v_bv←nv_part<bv
01100001 111000101000011010010000 00110001 00110101 00100000 1110001010001011100
00100 00100000 01100010 111000101000011010010000 00110010 1110001010010111
10001011 111000101001011110001011 00101110 00110010 00110101

```

Zu jeder dieser Binärfolgen gehört ein Codepunkt, und zu jedem Codepunkt ein Zeichen:

```

      UCausUTF8``nv_part<bv
97 8592 49 53 32 8900 32 98 8592 50 9675 9675 46 50 53

      CHARSAusUC UCausUTF8``nv_part<bv
a←15 ⋄ b←200.25

```

Die Funktion `UCausUTF8` führt die oben erläuterten Schritte aus:

```

[0] ns←UCausUTF8 bv;UTF8;n;x;w
[1] A-----
[2] A bv: UTF-8-Darstellung e i n e s Zeichens (1 - 4 Bytes)
[3] A ns: unicode e i n e s Zeichens
[4] A-----
[5] ns←0 ⋄ UTF8←bv
[6] n←÷/∧\UTF8 A n: #Bytes
[7] →(n>0)/L_0 ⋄ ns←2⊥8↑UTF8 ⋄ →0 A 1-Byte Darstellungen tanzen
[8] L_0: A aus der Reihe
[9] UTF8←(8/⊥n)<UTF8 A Aufteilung in einzelne Byte
[10] x←8-1+1+n↑n-1 A x: bedeutsame Stellen
[11] ns←2⊥(-x)↑UTF8

```

3.4 Funktionen nach UTF-8 und zurück

Wir zeigen an einem Beispiel, wie die sämtlichen Funktionen eines WS (es sind 950) in eine einzige UTF-8-Binärfolge `bv` kodiert und aus dieser wieder zurückgewonnen werden können.

```

      )wsid
IS C:\APLWIN13\PRGS\SUDOKU\SUDOKU

      )copy ..\utf8\utf8 sec UCausCHARS ΔavucWIN
SAVED Freitag, 19. September 2014 16:10:34

```

Wir brauchen zwei Trennzeichen, `sep` und `SEP`. Das erste leitet jeweils die Zeilen einer Funktion, das zweite die Funktion selbst ein. Eigentlich handelt es sich nicht um Zeichen, nicht einmal um Codepunkte im eigentlichen Sinne. Es sind einfach zwei Zahlen, welche mit den Codepunkten der zu verschlüsselnden Funktionen nicht in Konflikt kommen.

```

      (sep SEP)+9998 9999      A APL-Codepunkte ≤ 9675 (o)
      ρfns0←VausLM FNS0←⊂n1 3
950      t0←sec ⋄ ρnv0←∈SEP,``,sep,``(⊂ΔavucWIN)UCausCHARS``v_lm0←⊂cr``fns0 ⋄ sec-t0
2908584
0

```

Wie man sieht, beginnt man mit einem Vektor, dessen Komponenten die CR-Matrizen der 950 Funktionen sind. Dieser wird direkt in einen Vektor von numerischen Matrizen, bestehend aus den Codepunkten der CR-Darstellungen, verwandelt. Dann werden die Zeilenanfänge mit `sep` versehen, die Matrizen in Vektoren verwandelt und die Funktionsanfänge mit `SEP` gekennzeichnet. Mit `∈` wird die Vektorschachtelung aufgehoben. Man hat nun die Funktionen in den numerischen Vektor `nv0` gesteckt und kann sie löschen.

```

      ⊖erase ⊂n1 3
      ρ⊂n1 3
0 0
      )copy ..\utf8\utf8 sec UTF8ausUC_4 splitUTF8 UCausUTF8 CHARsausUC splitSS
SAVED Freitag, 19. September 2014 16:10:34
      t0←sec ⋄ ρbv←1=∈UTF8ausUC_4``nv0 ⋄ sec-t0
24623552
16

```

Nachdem man die zur weiteren Umwandlung benötigten Funktionen wieder einkopiert hat, wird zunächst der Codepunkt-Vektor `nv0` in die UTF-8-Binärfolge `bv` kodiert. Nun beginnt die Rückgewinnung der Funktionen. Die UTF-8-Folge muss als nächstes in Binärvektoren aufgeteilt werden, welche den einzelnen Zeichen entsprechen.

```

      t0←sec ⋄ ρv_bv←splitUTF8 bv ⋄ sec-t0
2908584
1.799999999999992724
      t0←sec ⋄ nv←UCausUTF8``v_bv ⋄ sec-t0
14.09999999999998546
      nv=nv0
1

```

Die einzelnen Binärvektoren werden in je einen Codepunkt verwandelt. Der Codepunkt-Vektor `nv` stimmt mit dem Ausgangsvektor `nv0` überein. Nun wird mit `splitSS` zweimal nacheinander aufgeteilt: zunächst in einzelne Funktionen (wobei `SEP` als Trennzeichen wirkt), dann jede Funktion in einzelne Zeilen (mit `sep` als Trennzeichen. Mit `disclose` erhält man einen Vektor von Matrizen, und schließlich `v_lm`, welcher Vektor von literalen Matrizen mit dem ursprünglichen `v_lm0` übereinstimmt.

```

      t0←sec ⋄ ρv_lm←(⊂ΔavucWIN)CHARsausUC``>``splitSS``splitSS nv ⋄ sec-t0
950
0.3999999999999963624
      v_lm=v_lm0
1
      ρfns←⊂fx``v_lm
950
      FNS0=⊂n1 3
1

```

Mit `⊂fx` erhält man schließlich die ursprünglichen 950 Funktionen zurück. Die Rückverwandlung innerhalb desselben APL-Produkts dient hier als Test der Korrektheit. Will

man aber die 950 Funktionen zum Beispiel in IBM-APL2 laufenlassen, so braucht man bei der Dekodierung von bv nur $\Delta_{avucWIN}$ durch $\Delta_{avucIBM}$ zu ersetzen.

Es folgen die oben verwendeten Funktionen VausLM, sec, splitUTF8, splitSS sowie die Unterfunktion osDEB, welche Anfangs- und Endleerstellen beseitigt und Zwischenstücke von Leerstellen auf eine einzige Leerstelle reduziert. Hier wird sie allerdings nur verwendet, um Endleerstellen zu beseitigen.

```
[0] v_lv←VausLM lm
[1] A-----
[2] A verwandelt lm (literale Matrix) in Vektor von literalen Vektoren
[3] A In diesen werden Anfangs- und Endleerstellen eliminiert und leere
[4] A Zwischenstücke auf je eine Leerstelle reduziert
[5] A-----
[6] v_lv←0ρ<' ' ⋄ →(0=↑ρlm)/0
[7] v_lv←osDEB∘[2]lm
```

```
[0] ns←sec
[1] A-----
[2] A ns: Zeit seit Anfang Sitzung, auf Zehntelsekunden gerundet
[3] A-----
[4] ns←.1×1.5+10×2>⌈ai
```

```
[0] v_bv←splitUTF8 bv;bm;a;a2;nv_part;w
[1] A-----
[2] A   bv: UTF-8-Binärfolge
[3] A v_bv: Jede Komponente des Vektors ist wiederum eine UTF-8-Binärfolge
[4] A       und entspricht einem Zeichen
[5] A zerlegt bv (UTF-8) in Abschnitte, die den einzelnen Zeichen entsprechen
[6] A-----
[7] bm←(⌊8,(ρbv)÷8)ρbv
[8] a←+/^bm                      A a: Anzahl anfänglicher Einsen pro Byte
[9] nv_part←1++\a≠1             A a≠1: Beginn des nächsten Zeichens
[10] v_bv←(8/nv_part)∘bv
```

```
[0] v_v←splitSS v;sep;bv;nv_part
[1] A-----
[2] A v: nv oder lv (numerical / literal vector)
[3] A   1>v ist das Trennzeichen (sep)
[4] A partitioniert v, v_v ist Vektor von Vektoren
[5] A-----
[6] sep←1>v ⋄ v←1>v ⋄ bv←v=sep          A sep: Trennzeichen
[7] nv_part←(∼bv)×1++\bv                A nv_part: Partitionsvektor
[8] v_v←nv_part∘v                        A Partition gemäss nv_part
```

```
[0] lm←osDEB lm;bv1;bv2;MAT;lm0;lm1;w
[1] A-----
[2] A Ersatz für ASM-Funktion DEB durch klassisches APL
[3] A Eliminiert Anfangs- und Endleerspalten und reduziert
[4] A   im Innern mehrfache Leerspalten auf einfache
[5] A-----
[6] MAT←2=ρρlm
[7] lm←(∼2↑1 1,ρlm)ρlm ⋄ lm←' ',lm,' ' ⋄ lm←0 1+0 ~1+(∼1 1≤^/[1]' '=lm)/lm
[8] →MAT/0 ⋄ lm←,lm
```

Literatur

- [1] *Unicode*, siehe <http://de.wikipedia.org/wiki/Unicode>
- [2] *Glyphe*, siehe <http://de.wikipedia.org/wiki/Glyphe>
- [3] *APLX Character set*, siehe [http://www.microapl.com/apl help/ch 210.htm](http://www.microapl.com/apl%20help/ch%20210.htm)
- [4] *APL to Unicode*, siehe <http://aplwiki.com/AplToUnicode>

Kontakt:

Dr. sc. math. (ETH) Urs Oswald
Internet: <http://www.ursoswald.ch/>
eMail: osurs@bluewin.ch

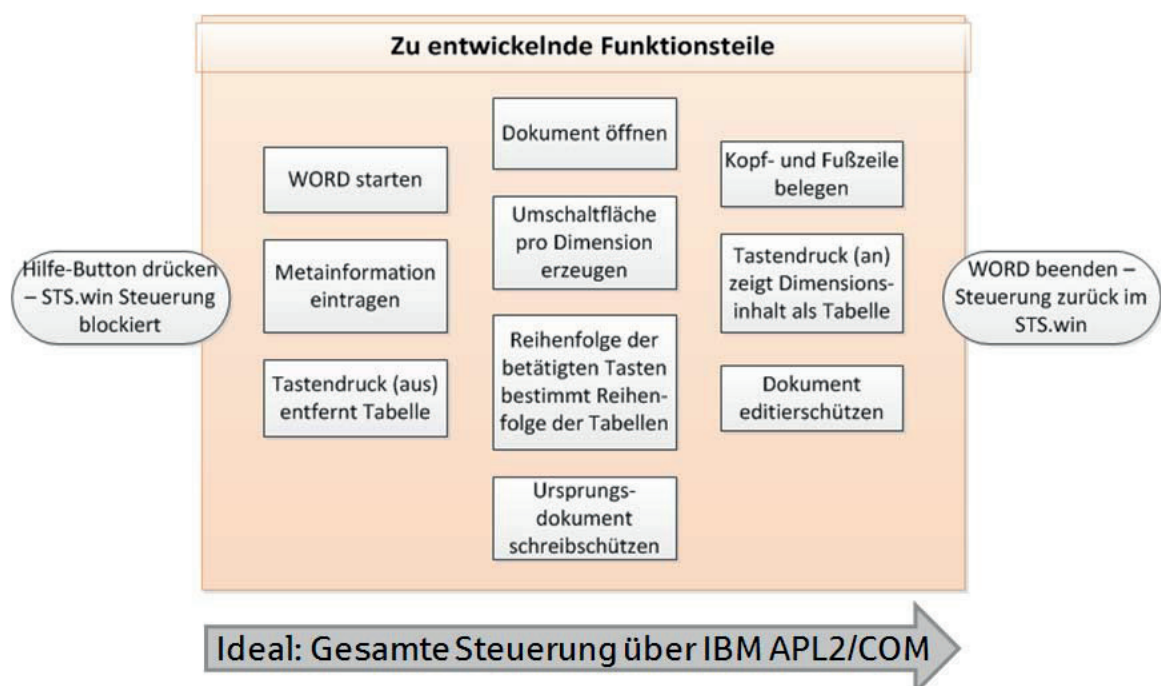
IBM-APL2 und die COM-Schnittstelle von WORD 2010 unter WINDOWS 7

Zum Thema IBM-APL2 und die COM-Schnittstelle von WORD 2010 unter WINDOWS 7 gibt es bislang keine dokumentierte Hilfe. Der folgende Beitrag soll ein kleines Fundament schaffen, das Interessierten eine strukturierte Starthilfe an die Hand gibt, die es leichter macht, sich in dieses Thema einzuarbeiten.

Status Quo

Ausgangspunkt meiner Konfrontation mit diesem Thema war die Problemstellung, wie es aus Sicht eines potentiellen Endanwenders einer Applikation gelingen kann, eindeutige Datenbank-IDs mit ihren Bezeichnungen komfortabel zur Ansicht zu bringen, um sie zu speichern oder zu drucken.

Im Rahmen des Informationssystems des Rheinischen Sparkassen- und Giroverbandes wird dieser Dienst zum Zeitpunkt der Datenselektion für granulare Abfragen unter der Beschreibung „Datenbankdokumentation anzeigen“ für jede Datenbank angeboten. Abhängig von der gewünschten Auswahl wird auf Anforderung ein



WORD-Dokument geladen, das aus einem einleitenden, beschreibenden und einem tabellarisch aufgebauten Teil besteht, der die Schlüsselinformationen enthält. Diese Dokumente, generiert durch die Fachabteilung, liegen statisch im System vor.

Aus Anwendersicht ist die Forderung selbstverständlich, dass der Tabellenteil immer aktuell ist. Auch aus Sicht der Fachabteilung ist dies selbstverständlich, aber leider nicht immer realisierbar, da Anpassungen manuell nachgepflegt werden müssen. Dies erfordert aber einen permanent reibungslos funktionierenden Informationsaustausch unter verschiedenen Beteiligten, der aus unterschiedlichen Gründen nicht immer gewährleistet ist.

Ziel

Die optimale Lösung muss also sein, die aktuell statischen WORD-Dokumente soweit es geht zu dynamisieren. Nach einer Absprache mit der Fachabteilung kann man sehr schnell zu dem Ergebnis kommen, dass die Vorlagendokumente nur noch den einleitenden, beschreibenden Teil enthalten sollen, gefolgt von zwei Absatzzeichen, die den Übergang zum dynamischen Teil markieren. Schlüsselinformationen sowie Kopf- und Fußzeileninformationen sollen nur noch dynamisch erzeugt werden, womit wir aus Entwicklungssicht bei der COM-Technologie wären.

Wunschvorstellung ist, dass sich zwischen Aufruf und Schließen der Dokumentation verschiedene Elemente, Eigenschaften und Ereignisdefinitionen vom APL2 über die COM-Schnittstelle WORD übergeben lassen, die den User in den Stand versetzen, in einem editiergeschützten Dokument über Umschaltflächen zielgerichtet die gewünschten Datenbankinformationen anzuzeigen, das Dokument zu drucken oder zu speichern, ohne dass die Gefahr besteht, dass das Ursprungsdokument überschrieben oder andere geöffnete WORD-Instanzen beeinträchtigt werden.

Hilfen

Die MSDN Developer Page (WORD-Objektmodell), wobei insbesondere der Enumerationsteil von großer Bedeutung ist, der APL2 User's Guide (Supplied External Routines: COM und COMBROWSE) sowie der VBA-Makroaufzeichnungsmodus.

Im Detail

Das Starten von WORD hat keine negativen Auswirkungen auf bestehende WORD-Sitzungen – es wird immer eine neue, eigenständige Instanz (durch nachfolgenden Befehl unsichtbar) geöffnet.

- Befehl zum Kreieren einer WORD-Instanz:

```
WORD ← COM 'CREATE' 'Word.Application'
```

Die gesamte Generierung des Dokumentes soll so ruhig wie möglich für das Auge des Anwenders ablaufen. Dazu kann sich der Entwickler zwei Techniken zunutze

machen: Die Bildschirmaktualisierung deaktivieren und die Generierung im minimierten Zustand durchführen – Hilfe bietet dabei die Enumeration wdWindowState:

- Befehl für Bildschirmaktualisierung aus:

```
COM 'PROPERTY' WORD 'APPLICATION.SCREENUPDATING' 0
```

- Befehl für Ausführung im minimierten Zustand:

```
COM 'PROPERTY' WORD 'APPLICATION.WINDOWSTATE' 2
```

Nun kann man sich dem zu ladenden Vorlagendokument widmen. Da man das Ursprungsdokument vor dem Überschreiben absichern muss, ist es bereits beim

Öffnen notwendig, die entsprechende Readonly-Eigenschaft mitzugeben. Da WORD unsichtbar ist, kann man das Dokument unbesorgt zusätzlich sichtbar machen:

- Befehl zum sichtbaren und schreibgeschützten Öffnen des Vorlagendokumentes **ΔR**:

```
DOK ← COM 'METHOD' WORD 'Documents.Open[']('Filename' ΔR)('ReadOnly' 1)('Visible' 1)
```

Man beachte, dass nun mit dem Handle DOK ein Repräsentant des WORD-Dokumentes zur Verfügung steht.

WORD bietet verschiedene Ansichtsmodi an. Wir entscheiden uns für die Variante

Seitenlayout mit ausgeblendeten Formatierungssymbolen, weil es für unseren beabsichtigten Dienst nach unserer Meinung die passende Darstellungsform ist:

- Befehl für Ansicht Seitenlayout:

```
COM 'PROPERTY' WORD 'ActiveWindow.View.Type' 3
```

- Befehl für Ausblenden der Formatierungssymbole:

```
COM 'PROPERTY' WORD 'ActiveWindow.ActivePane.View.ShowAll' 0
```

Da diese Einstellungen mit Beenden von WORD beibehalten werden, wir aber nicht möchten, dass der Anwender seine gewohnte Umgebung dauerhaft verändert vorfindet, merken wir uns den Ursprungszustand, um ihn beim Beenden von WORD wieder herzustellen. Zum Auslesen

verwendet man die gleiche Syntax, jedoch unter Verzicht der rechten Parameter.

Arbeiten wir uns nun von oben nach unten durch das zu erzeugende Dokument und passen zunächst die Kopfzeile an, da wir dort ein Logo mit Hilfe einer Tabelle rechts platzieren möchten. WORD unterscheidet

hier die aktuelle Kopfzeile, die gerade Kopfzeile, die erste Kopfzeile oder die primäre Kopfzeile. Wir entscheiden uns für

die primäre Kopfzeile und ermitteln die zu verwendende Konstante über die Enumeration `wdSeekView`:

- Befehl zum Anwählen der primären Kopfzeile:
`COM 'PROPERTY' WORD 'ACTIVEWINDOW.ACTIVEPANE.VIEW.SEEKVIEW' 1`
- Befehl zum Einfügen einer einzeiligen Tabelle mit drei Spalten ist zweiteilig, da man zunächst einen Handle als Repräsentanten der Tabelle benötigt:
`TABLE←COM 'PROPERTY' WORD 'SELECTION.RANGE'`
`COM 'METHOD' WORD 'SELECTION.TABLES.ADD' TABLE 1 3`
- Befehl zum Ermitteln des Handles der rechten Zelle:
`ZELLE←COM 'PROPERTY' WORD 'ACTIVEDOCUMENT.SECTIONS().HEADERS().RANGE.TABLES().CELL().RANGE' 1 1 1(1 3)`
- Befehl zum Einfügen der Grafik in die gewünschte Zelle:
`PICTURE←COM 'METHOD' ZELLE 'INLINESHAPES.ADDPICTURE'('Logo.bmp')`
- Befehl zum Rechtsausrichten der Grafik innerhalb der Zelle mit Hilfe der Enumeration `wdParagraphAlignment`:
`COM 'PROPERTY' ZELLE 'PARAGRAPHFORMAT.ALIGNMENT' 2`
- Befehl zur Höhenskalierung der Grafik in Prozent:
`COM 'PROPERTY' PICTURE 'SCALEHEIGHT' 15`
- Befehl zur Breitenskalierung der Grafik in Prozent:
`COM 'PROPERTY' PICTURE 'SCALEWIDTH' 20`

Nach Beenden der Kopfzeilendefinition wenden wir uns dem Body des Dokumentes zu. Um den Cursor an das Ende des

Dokumentes zu steuern, verwendet man die folgende Methode in Kombination mit der entsprechenden `wdUnits`-Konstanten:

- Befehl zur Platzierung des Cursors an das Ende des Textes:
`COM 'METHOD' WORD 'SELECTION.ENDOF' 6`
- Befehl zum Einfügen einer neuen Zeile durch Einfügen eines Absatzzeichens:
`COM 'PROPERTY' WORD 'SELECTION.TYPEPARAGRAPH'`
- Befehl zum Einfügen einer Textzeile mit aktuellem Datum:
`COM 'PROPERTY' WORD 'SELECTION.TEXT' 'Datenbankstruktur mit Stand vom TT.MM.JJJJ'`
- Befehle zum Unterstreichen und Kursivsetzen dieser Zeile:
`COM 'PROPERTY' WORD 'SELECTION.FONT.UNDERLINE' 1`
`COM 'PROPERTY' WORD 'SELECTION.FONT.ITALIC' 1`
- Befehlsfolge zum Aussetzen dieser Formatierungen:
`COM 'METHOD' WORD 'SELECTION.ENDOF' 6`
`COM 'PROPERTY' WORD 'SELECTION.FONT.UNDERLINE' 0`
`COM 'PROPERTY' WORD 'SELECTION.FONT.ITALIC' 0`

Nun werden die Umschaltflächen (Toggle Buttons) erzeugt, die dafür genutzt werden, auf Tastendruck die Informationen der gewünschten Datenbankdimension tabellarisch darzustellen:

- Befehl zur Erzeugung eines Toggle-Buttons:
`TOGGLE←COM 'METHOD' WORD 'SELECTION.INLINESHAPES.ADDOLECONTROL' 'Forms.ToggleButton.1'`
- Befehle zur Formatierung des Toggle-Buttons (kein Zeilenumbruch, Buttonbezeichnung setzen, automatische Buttonbreite und Schriftart definieren):
`COM 'PROPERTY' TOGGLE 'OLEFORMAT.OBJECT.WORDWRAP' 0`
`COM 'PROPERTY' TOGGLE 'OLEFORMAT.OBJECT.CAPTION' 'Bezeichnung'`
`COM 'PROPERTY' TOGGLE 'OLEFORMAT.OBJECT.AUTOSIZE' 1`
`COM 'PROPERTY' TOGGLE 'OLEFORMAT.OBJECT.FONT.NAME' 'Tahoma'`

Die Toggle-Buttons sind nun kreiert, aber noch ohne Funktion – dazu bedarf es der Definition eines Events, in diesem Fall eines CLICK-Events, das durch einen Tastendruck ausgelöst wird. APL benötigt dieses Signal, um die Anweisung zu erhalten, die entsprechende Tabelle mit den gewünschten Datenbankinformationen ein- oder auszublenden. Aufgrund eines aktuell noch ungeklärten, schwerwiegenden Problems bei der Definition dieses Events, existiert bei Drucklegung dazu nur ein Workaround, auf dessen Darstellung an

dieser Stelle verzichtet wird. Um die Zeit für das Formatieren der Tabellen für die anzuzeigenden Datenbankdimensionen zu minimieren, werden sie einmalig aufgebaut und dann jeweils in einem unsichtbaren Dokument abgelegt. Beim gewünschten Einblenden einer Tabelle wird lediglich das entsprechende Dokument angesprochen, der gesamte Inhalt kopiert und in das Vorlagendokument eingefügt. Dabei muss aber immer der vorhandene Editierschutz berücksichtigt werden, der das Dokument vor Manipulationen bewahren soll:

- Befehl zum Erzeugung eines unsichtbaren Dokumentes:
`DOKUN←COM 'METHOD' WORD 'Documents.ADD[]'('Visible' 0)`
- Befehl zum Einfügen der Datenbankinformationen **ERG** (Format: Vektor mit Trennung der Attribute durch Semikolon und Verwenden von **AV[14]** um Zeilen umzuberechnen):
`COM 'PROPERTY' WORD 'SELECTION.TEXT' ERG`
- Befehl zum Umwandeln des Textes in eine Tabelle mit der wdTableFieldSeparator-Konstanten 2, die das Semikolon als Spaltentrennzeichen berücksichtigt:
`COM 'METHOD' WORD 'SELECTION.CONVERTTOTABLE' 2`
- Befehlsfolge zur Absatzformatierung (wdLineSpacing):
`COM 'PROPERTY' WORD 'SELECTION.PARAGRAPHFORMAT.SPACEBEFORE' 0`
`COM 'PROPERTY' WORD 'SELECTION.PARAGRAPHFORMAT.SPACEAFTER' 0`
`COM 'PROPERTY' WORD 'SELECTION.PARAGRAPHFORMAT.LINESPACINGRULE' 3`
`COM 'PROPERTY' WORD 'SELECTION.PARAGRAPHFORMAT.LINESPACING' 14`
- Befehl zum Verwenden von einer automatischen Formatierung der Tabelle (wdTableFormat):
`COM 'METHOD' WORD 'ACTIVEDOCUMENT.TABLES().AUTOFORMAT' 1 16`

- Befehl zum Setzen der optimale Spaltenbreite (wdAutoFitBehaviour):
COM 'METHOD' WORD 'ACTIVEDOCUMENT.TABLES().AUTOFITBEHAVIOUR' 1 1
- Befehl zum Setzen einer Textmarke, die später zum Wiederfinden der Tabelle dient:
COM 'METHOD' WORD 'ACTIVEDOCUMENT.BOOKMARKS.ADD'('_Dimension_X')
- Befehl zum Ermitteln des Handles der Tabelle:
TABLE←COM 'PROPERTY' WORD 'ACTIVEDOCUMENT.TABLES().RANGE' 1
- Befehlsfolge zur weiteren Formatierung der Tabelle (Zeilenhöhe, Text vertikal zentrieren[wdCellVerticalAlignment], Schriftart und Schriftgröße setzen):
COM 'PROPERTY' TABLE 'ROWS.HEIGHT' 16
COM 'PROPERTY' TABLE 'CELLS.VERTICALALIGNMENT' 1
COM 'PROPERTY' TABLE 'FONT.NAME' 'Sparkasse Rg'
COM 'PROPERTY' TABLE 'FONT.SIZE' 11
- Befehl zum Ermitteln des Handles der ersten Tabellenzeile:
ROW←COM 'PROPERTY' WORD 'ACTIVEDOCUMENT.TABLES().ROWS().RANGE' 1 1
- Befehlsfolge zur weiteren Formatierung der Tabellenzeile (verbundene Zellen, Rahmenlinien links, oben und rechts entfernen [wdBorderType]):
COM 'PROPERTY' ROW 'CELLS.MERGE' COM 'PROPERTY' ROW 'BORDERS().LINESTYLE' -2 0
COM 'PROPERTY' ROW 'BORDERS().LINESTYLE' -1 0
COM 'PROPERTY' ROW 'BORDERS().LINESTYLE' -4 0
- Befehl zum Ermitteln des Handles der zweiten Tabellenzeile:
ROW←COM 'PROPERTY' WORD 'ACTIVEDOCUMENT.TABLES().ROWS().RANGE' 1 2
- Befehl zum Setzen der Hintergrundfarbe Grau in der zweiten Zeile (wdColorIndex):
COM 'PROPERTY' ROW 'SHADING.BACKGROUND_PATTERN_COLOR_INDEX' 16
- Befehl zum Setzen einer fetten Schriftart in der zweiten Zeile:
COM 'PROPERTY' ROW 'FONT.BOLD' 1
- Befehl zum Setzen eines Blattschutzes (wdProtectionType):
COM 'METHOD' WORD 'ACTIVEDOCUMENT.PROTECT[]'('Password' 'test') ('Type' 3)

Das Einfügen und Entfernen der Tabellen auf Tastendruck steuert man auf entsprechendes Signal hin wie folgt aus der APL2-Umgebung:

- Befehlsfolge zum Einfügen einer Tabelle in das sichtbare WORD-Dokument (unsichtbares Quelldokument aktivieren – markierte Tabelle in die Zwischenablage kopieren – sichtbares Zieldokument aktivieren – Ende des Dokumentes aufsuchen [wdUnits] – Blattschutz aufheben – Absatz einfügen – Tabelle im Ursprungsformat einfügen [wdRecoveryType] – Ende des Dokumentes aufsuchen [wdUnits] – weiteren Absatz einfügen – zur letzten Tabelle gehen [wdGoToItem und wdGoToDirection] – den gesamten Text in der ersten Zeile der Tabelle markieren [wdUnits, Count, wdExtend]):
COM 'PROPERTY' WORD 'DOCUMENTS().ACTIVATE' Quelldokument
COM 'PROPERTY' WORD 'SELECTION.COPY'
COM 'PROPERTY' WORD 'DOCUMENTS().ACTIVATE' Zieldokument
COM 'METHOD' WORD 'SELECTION.ENDOF' 6
COM 'METHOD' WORD 'ACTIVEDOCUMENT.UNPROTECT[]'('test')
COM 'PROPERTY' WORD 'SELECTION.TYPEPARAGRAPH'

```
COM 'METHOD' WORD 'SELECTION.PASTEANDFORMAT' 16
COM 'METHOD' WORD 'SELECTION.ENDOF' 6
COM 'PROPERTY' WORD 'SELECTION.TYPEPARAGRAPH'
COM 'METHOD' WORD 'SELECTION.GOTO' 2 -1
COM 'METHOD' WORD 'SELECTION.MOVERIGHT' 3 1 1
```

- Befehlsfolge zum Entfernen einer Tabelle aus sichtbaren WORD-Dokument:

```
COM 'METHOD' WORD 'Selection.GoTo[]'('What' -1)('Name' '_Dimension_X')
COM 'METHOD' WORD 'ACTIVEDOCUMENT.UNPROTECT'('test')
COM 'PROPERTY' WORD 'Selection.Rows.Delete'
COM 'METHOD' WORD 'Selection.Delete[]'('Unit' 1)('Count' 2)
```

Der Einfügen- und Entfernenprozess wird abgerundet durch Löschen der durch das Drücken des Buttons angelegten Textmarke und dem Wiederherstellen des Blattsschutzes:

- Befehl zum Entfernen der Textmarke:

```
COM 'PROPERTY' WORD 'ACTIVEDOCUMENT.BOOKMARKS().DELETE' (CTABINDEXDIM1)
```

- Befehlsfolge zum Entfernen einer Tabelle aus sichtbaren WORD-Dokument:

```
COM 'METHOD' WORD 'ACTIVEDOCUMENT.PROTECT[]'('Password' 'test') ('Type' 3)
```

Für die Hinterlegung userspezifischer Informationen wie User-ID und Institut

eignet sich die Belegung der Fußzeile:

- Befehl zum Anzeigen der Fußzeile im Druckvorschaumodus (wdSeekView):
COM 'PROPERTY' WORD 'ACTIVELWINDOW.ACTIVEPANE.VIEW.SEEKVIEW' 4
- Befehl zum Eintragen der User-ID (mit Zeilenumbruch):
COM 'METHOD' WORD 'SELECTION.INSERTAFTER'(USER-ID, 1↓ TC)
- Befehl zum Eintragen der Institutsbezeichnung darunter:
COM 'METHOD' WORD 'SELECTION.INSERTAFTER' INSTITUT
- Befehl zum Wechseln der Anzeige in Druckvorschaumodus des Dokumentes:
COM 'PROPERTY' WORD 'ACTIVELWINDOW.ACTIVEPANE.VIEW.SEEKVIEW' 0

Wenn der Anwender die strukturellen Datenbankinhalte gesehen hat, schließt er das WORD-Dokument. Um die systemimmanente Nachfrage „Soll das Dokument gespeichert werden?“, - die von jedem geöffneten Dokument gestellt wird - zu unterdrücken, muss man WORD entweder

suggestieren, dass das Dokument bereits gespeichert wurde oder es tatsächlich automatisch speichern (leider lässt sich die erste Variante nicht anwenden, wenn Toggle Buttons im Dokument vorliegen). Dies erreicht man mit folgender Technik, die sich VBA-Codes bedient:

- Formulierung des VBA-Codes für die unsichtbaren Dokumente:

```
VB_CODE←C'Private Sub Document_Close()'
VB_CODE←VB_CODE,C('ActiveDocument.Saved = True')
VB_CODE←VB_CODE,C('End Sub')
```

- Formulierung des VBA-Codes für das sichtbare Dokument:
- `VB_CODE←C'Private Sub Document_Close()'`
- `VB_CODE←VB_CODE,C('ActiveDocument.SaveAs FileName:='Datei mit Pfad')`
- `VB_CODE←VB_CODE,C('End Sub')`
-
- Anweisungen zum Platzieren des VBA-Codes in den VBA-Projekten der Dokumente:
- `VBCOMPONENTS←COM 'PROPERTY' DOK 'VBProject.VBComponents'`
- `ITEM←COM 'PROPERTY' VBCOMPONENTS 'ITEM()' 1`
- `CODEMODULE←COM 'PROPERTY' ITEM 'CODEMODULE'`
- `COM 'METHOD' CODEMODULE 'InsertLines' 2(VB_CODE, "C1↓TC)`

Ich hoffe, mit meinen Ausführungen dem
einen oder anderen Interessierten den

Einstieg in das Thema zukünftig deutlich
erleichtern zu können.

Kontakt:
Frank Schmidt-Kelletat

Rheinischer Sparkassen- und Giroverband,
Düsseldorf

eMail: frank.schmidt-kelletat@rsgv.de

Der Huffman-Code

1 Einleitung

Zur Klärung des Begriffs vorweg eine kurze Einleitung: In einem deutschen oder englischen Text kommt der Buchstabe e sehr viel häufiger vor als beispielsweise der Buchstabe q. Um den Text mit möglichst wenigen Bits zu codieren, liegt die Idee nahe, häufig vorkommende Zeichen durch möglichst kurze Codewörter zu codieren. Diese Idee ist auch beim Morse-Code verwirklicht, in dem das Zeichen e durch ein Codewort der Länge 1, nämlich einen \cdot , das Zeichen q dagegen durch ein Codewort der Länge 4, nämlich $-\cdot-\cdot$ codiert wird.

Problematisch bei Codes mit unterschiedlichen Codewortlängen ist, dass im allgemeinen eine eindeutige Dekodierung von Zeichenfolgen nicht möglich ist: Im Morse-Code könnte beispielsweise die Folge $\cdot-\cdot-\cdot-\cdot$ sowohl zu usa als auch idea dekodiert werden.

Das Problem kommt dadurch zustande, dass gewisse Codewörter Anfangswörter von anderen Codewörtern sind. Dadurch kann bei der Dekodierung nicht entschieden werden, wo ein Codewort endet und wo das nächste anfängt. Die o.a. Folge könnte mit e (\cdot) oder mit i ($\cdot\cdot$) oder mit u ($\cdot-\cdot$) oder sogar mit f ($\cdot-\cdot-\cdot$) anfangen.

Gilt dagegen die folgende Bedingung, so lassen sich codierte Zeichenfolgen direkt

und eindeutig dekodieren. Im Morse-Code wird die Bedingung erfüllt, indem hinter jedem Codewort als Trennzeichen eine kurze Pause eingefügt wird.

Satz: (FANO-Bedingung)

Wenn kein Codewort Anfangswort (=Prefix) eines anderen Codewortes ist, dann ist jede codierte Zeichenreihe eindeutig dekodierbar.

Gegeben sei ein Alphabet A und ein Text $t \in A^+$. Ziel des Verfahrens von Huffman ist die systematische Konstruktion eines Codes $c(A) \subseteq B^+$, der die Fano-Bedingung erfüllt und der den Text mit möglichst wenigen Bits codiert. Anwendung findet die Huffman-Codierung nicht nur bei der Kompression von Texten, sondern u.a. in der Fax-Übertragung und im Bilddaten-Kompressionsverfahren JPEG.

Beispiel:

Der zu codierende Text lautet: 'Im Westen nichts Neues'. In Bild 1 ist die Situation nach Schritt 1 des Algorithmus dargestellt.

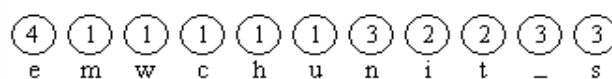


Bild 1: In Schritt 1 erzeugte Knoten

Die nachfolgenden Bilder 2 bis 5 zeigen weitere Stadien im Verlauf der Konstruktion des Baumes in Schritt 2. Die Kanten sind von oben nach unten gerichtet; die Kantenmarkierungen sind zunächst weggelassen.

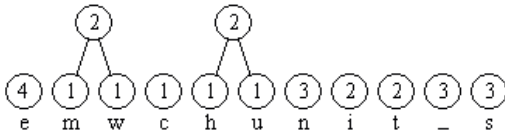


Bild 2: Die ersten beiden in Schritt 2 neu erzeugten Knoten

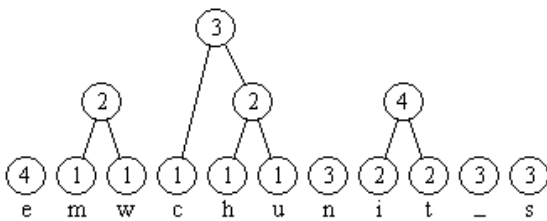


Bild 3: Weitere neu erzeugte Knoten

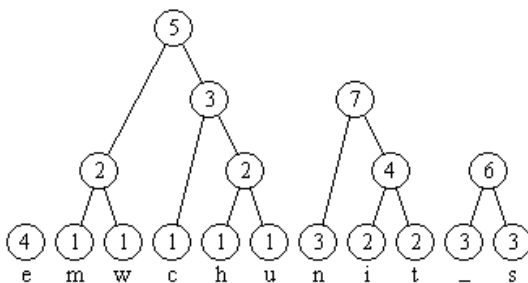


Bild 4: Weitere neu erzeugte Knoten

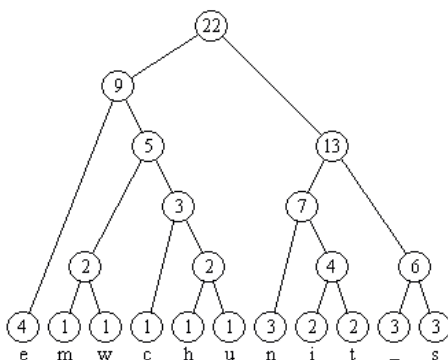


Bild 5: Der fertige Huffman-Baum

2 Implementierung des Huffman-Codes in APL

Als Ursprungstext (DEMOTXT) wird hier die E-Mail-Einladung von Herrn Geißelhardt zur APL-Tagung am 12./13.05.2014 in Stuttgart verwendet (siehe Bild 6).

Die Liste (FREQS) der (73) verschiedenen in dieser Nachricht enthaltenen und zu codierenden Zeichen ergibt sich damit zu:

Lieb APKolg(n),usrTaück-täh.WzfVSIde-MmwRN@DpvBO15CGq209:3UßQ78+46Z;FHöx/y

Bild 7 zeigt eine Liste der entsprechenden Häufigkeiten ihres Auftretens im Ursprungstext (hier nur ein Ausschnitt). Das heißt beispielsweise, das „o“ kommt 30 mal vor, der Punkt 31 mal etc. Aus dieser Liste wird nun mittels der Routine HUFFMAN ein sog. Huffman-Tree (DEMOTree) aufgebaut:

DEMOTree ← HUFFMAN FREQS

Dieser Huffman-Tree wird als Vektor der Länge 145 dargestellt. Bild 8 gibt dessen sechs erste Elemente wieder. Als Graphik stellt sich der Baum dann wie in Bild 9 dar (hier nur die obersten 5 Ebenen):

Zur Codierung eines Textes wird nun aus diesem Huffman-Tree die entsprechend Code-Tabelle (DEMOTab) erzeugt:

DEMOTab □ HUFFtabGEN DEMOTree

Die ersten 5 Einträge in dieser Code-Tabelle werden in Bild 10 präsentiert.

Liebe APL Kolleg(inn)en,
unsere Tagung rückt näher.
Wir haben noch Platz für Vorträge. Wenn Sie eine nette Idee für eine kurze Präsentation haben,
schicken Sie doch bitte eine E-Mail an mich bzw. an Reiner Nussbaum (reiner@nussbaum-gift.de)
.

Der Vortrag muss nicht in einer perfekten Präsentationsvorlage verfügbar sein, es kann z.B. auch
Online direkt im APL vorgeführt werden. Der zeitliche Rahmen ist natürlich offen, wir freuen uns
auch über einen 15-minütigen Vortrag.
Das Thema Matter of Concern (MoC) wird uns während dieser GSE-Tagung wieder beschäftigen. Wir
werden bei der Requirement-Session über das weitere Vorgehen diskutieren müssen.
Die Tagung beginnt am 12.5. um 09:30 Uhr. Am Sonntagabend werden wie immer einen Vorabendtreff
organisieren.
Weitere Informationen werde ich in Kürze versenden.
Deste Grüße

Bernd Geißelhardt

APL Benutzer Service
Allianz Deutschland AG
IT Personen-, Sachversicherung, Querschnitt (D-IT-PBQ3-K3)
Reinsburgstr.19
70178 Stuttgart

Tel: +49 711 663 3968
Allianz Deutschland AG
Vorsitzender des Aufsichtsrats: Dr. Werner Zedellus.
Vorstand: Dr. Markus Rieß, Vorsitzender; Dr. Wolfgang Brezina, Dr. Markus Faulhaber, Bernd Hei
nemann,
Burkhard Keese, Dr. Manfred Knof, Dr. Birgit König, Andree Moschner, Dr. Alexander Vollert.
Für Umsatzsteuerzwecke: USt-Id-Nr.: DE 214 580 981
Finanz- und Versicherungsleistungen i.S.d. UStG / MwStSysREL sind von der Umsatzsteuer befreit
.

Sitz der Gesellschaft: München
Registergericht: Amtsgericht München HRB 150070

Bild 6: Ursprungstext (DEMOTXT)

```
DISPLAY ⌘⌘(⌘,[10]FREQS)[59+110;]
```

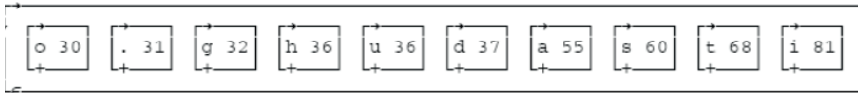


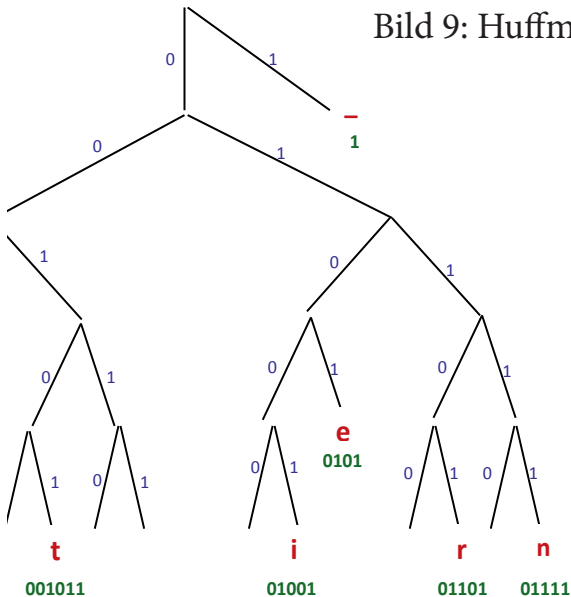
Bild 7: Zeichenhäufigkeit im Ursprungstext (DEMOTXT)

```
DISPLAY 6⌘DEMOTree
```



Bild 8: Zeichenhäufigkeit im Ursprungstext (DEMOTXT)

Bild 9: Huffman-Tree



```
DISPLAY ⌘[2](⌘DEMOTab)[15;]
```

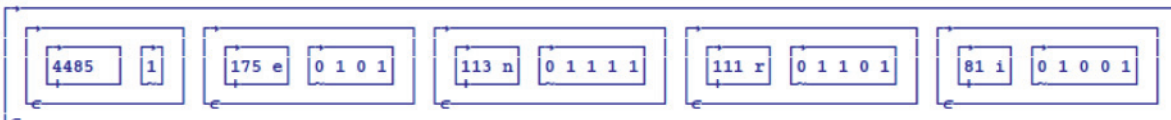


Bild 10: Code-Tabelle

DISPLAY 50'DEMOCipher

0 1 0 0 0 1 1 1 1 0 1 0 0 1 0 1 0 1 0 0 1 1 1 1 0 0 0 1 0 1 1 0 1 1 1 0 0 0 1 1 0 0 1 0 0 0 0 0 0 1 0 0

Bild 11: Codierter Text (Anfang)

0 1 0 0 0 1 1 1 1 0 1 0 0 1 0 1 0 1 0 0 1 1 1 0 0 0 1 0 1 1 0 1 1 1 0 0 0 1 1 0 0 1 0 0 0 0 0 . . .

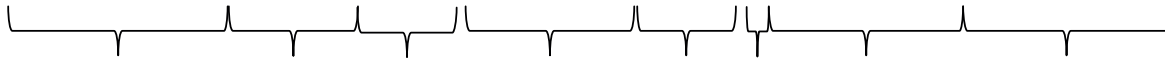


Bild 12: Decodierung des Textes

DISPLAY DCR 'HUFFencode'

```

Z←L HUFFencode R;N;S;SYMBOL;T;TEXT;i;n
A Encode a plaintext L into Huffman-Ciphertext
A L: T ; encoding table (output of HUFFtable)
A R: text to be HUFFMAN-encoded (e.g.:plaintext)
A Z: encoded (binary) ciphertext
T←L
TEXT←R
Z←10
L1:
→(0=ρTEXT)/END
Z←Z,((↑TEXT)=↑"φ"↑T[1;])/T[2;]
TEXT←1↑TEXT
→L1
END:
Z←εZ
    
```

DISPLAY DCR 'HUFFdecode'

```

Z←L HUFFdecode R;BIT;T;Tcurr;cipher;code;pl;pr
A Decode HUFFMAN-encoded ciphertext
A L: ciphertext to be decoded
A R: coding-tree (e.g.: HUFFtree)
(cipher T)←L R
Z←10
L0:
Tcurr←↑T
code←10
L1:
→(0=ρcipher)/0
BIT←↑cipher
cipher←1↑cipher
→(BIT=0 1)/BIT0 BIT1
BIT0:
A process bit 0:
code←code,BIT
⊡(2=ρTcurr)/'Z←Z,2↑Tcurr ⊡ →L0' A if it's a leaf
pl←3↑Tcurr A proceede to left child
Tcurr←↑(pl=2↑"T)/T
⊡(2=ρTcurr)/'Z←Z,2↑Tcurr ⊡ →L0' A if it's a leaf
→L1 A handle next bit
BIT1:
A process bit 1:
code←code,BIT
⊡(2=ρTcurr)/'Z←Z,2↑Tcurr ⊡ →L0' A if it's a leaf
pr←4↑Tcurr A proceede to right child
Tcurr←↑(pr=2↑"T)/T
⊡(2=ρTcurr)/'Z←Z,2↑Tcurr ⊡ →L0' A if it's a leaf
→L1 A handle next bit
    
```

Bild 13: APL2-Code der beiden Routinen HUFFencode und HUFFdecode

Das heißt, das Blank kommt im Text 4485 mal vor und hat den Huffman-Code 1, das e kommt 175 mal vor und hat den Huffman-Code 0101, das n kommt 113 mal vor und hat den Code 01111 etc.

Mit dieser Code-Tabelle (DEMOTab) wird nun mit der Routine HUFFencode der Ursprungstext (DEMOTXT) codiert:

DEMOCipher □

DEMOTab HUFFencode (,DEMOTXT)

Den Anfang des 5.775 Stellen langen codierten Textes zeigt Bild 11, die Dekodierung Bild 12.

Wird dieser gesamte mit der Routine HUFFencode verschlüsselte Text (DEMOCipher) nun mit der Routine HUFFdecode wieder zurückübersetzt, ergibt sich:

RUECKTXT←DEMOCipher
HUFFdecode DEMOtree

Der Test, ob die Huffman-Codierung tatsächlich verlustfrei war erfolgt durch

(25 231pRUECKTXT) ≡ DEMOTXT

1

Was damit bestätigt wird.

Der Originaltext (DEMOTXT) hat eine Länge von 5775 Zeichen zu je 8 Bit = 46.200 Bit.

Der codierte Text (DEMOCipher) hat eine Länge von 12.264 Bit.

Der Kompressionsfaktor beträgt somit $46.200/12.264 = 3,77:1$. *)

*) Ein solches Ergebnis kann natürlich nicht als repräsentativ gelten, da es aus der sehr hohen Anzahl der Blanks im Ursprungstext resultiert

Kontakt:

Rolf Erbe
Nordweststr. 89
63128 Dietzenbachne.de

E-Mail: rwerbe@t-online.de

APL-Journal

33. Jg. 2014, ISSN 1438-4531

Herausgeber: Dr. Reiner Nussbaum, APL-Germany e.V., Mannheim, <http://www.apl-germany.de>

Redaktion: Dipl.-Volksw. Martin Barghoorn (verantw.), TU Berlin, Franklinstr. 28, D-10587 Berlin, Tel. (030) 314 24392, Fax (030) 314 25901

Verlag: RHOMBOS-VERLAG, Berlin, Kurfürstenstr. 15/16, D-10785 Berlin, Tel. (030) 261 9461, eMail: verlag@rhombos.de, Internet: www.rhombos.de

Erscheinungsweise: halbjährlich

Erscheinungsort: Berlin

Satz: Rhombos-Verlag

Druck: dbusiness.de GmbH, Berlin

Copyright: APL Germany e.V. (für alle Beiträge, die als Erstveröffentlichung erscheinen)

Fotonachweis Titelseite: Martin Barghoorn

Die Wiedergabe von Gebrauchsnamen, Handelsnamen, Warenbezeichnungen usw. in diesem Werk berechtigt auch ohne besondere Kennzeichnung nicht zu der Annahme, dass solche Namen im Sinne der Warenzeichen- und Markenschutzgesetzgebung als frei zu betrachten wären und daher von jedermann benutzt werden dürfen. Eine Haftung für die Richtigkeit der veröffentlichten Informationen kann trotz sorgfältiger Prüfung von Herausgeber und Verlag nicht übernommen werden. Mit Namen gekennzeichnete Artikel geben nicht unbedingt die Meinung des Herausgebers oder der Redaktion wieder. Für unverlangte Einsendungen wird keine Haftung übernommen. Nachdruck ist nur mit Zustimmung des Herausgebers sowie mit Quellenangabe und Einsendung eines Beleges gestattet. Überarbeitungen eingesandter Manuskripte liegen im Ermessen der Redaktion.



Allgemeine Informationen

(Stand 2011)

APL-Germany e.V. ist ein gemeinnütziger Verein mit Sitz in Düsseldorf. Sein Zweck ist es, die Programmiersprache APL, sowie die Verbreitung des Verständnisses der Mensch-Maschine Kommunikation zu fördern. Für Interessenten, die zum Gedankenaustausch den Kontakt zu anderen APL-Benutzern suchen, sowie für solche, die sich aktiv an der Weiterverbreitung der Sprache

APL beteiligen wollen, bietet APL-Germany den adäquaten organisatorischen Rahmen.

Auf Antrag, über den der Vorstand entscheidet, kann jede natürliche oder juristische Person Mitglied werden. Organe des Vereins sind die mindestens einmal jährlich stattfindende Mitgliederversammlung sowie der jeweils auf zwei Jahre gewählte Vorstand.

1. Vorstandsvorsitzender

Dr. Reiner Nussbaum
Dr. Nussbaum gift mbH, Buchenerstr. 78, 69259 Mannheim,
Tel. (0621) 7152190.

Ordentliche Mitglieder:

Natürliche Personen	32,- EUR*
Studenten / Schüler	11,- EUR*

Außerordentliche Mitglieder:

Jurist./natürl. Pers.	500,- EUR*
-----------------------	------------

* Jahresbeitrag

2. Vorstandsvorsitzender:

Martin Barghoorn
Sekt. FR 6-7, Technische Universität Berlin, Franklinstr. 28,
10587 Berlin,
Tel. (030) 314 24392

Bankverbindung

BVB Volksbank eG Bad Vilbel
BLZ 518 613 25
Konto-Nr. 523 2694

Hinweis:

Wir bitten alle Mitglieder, uns Adressänderungen und neue Bankverbindungen immer sofort mitzuteilen. Geben Sie bei Überweisungen den Namen und/oder die Mitgliedsnummer an.



Einzugsermächtigung

Mitglieds-Nr.: _____

Ich erkläre mich hiermit widerruflich damit einverstanden, daß APL Germany e.V. den jeweils gültigen Jahres-Mitgliedsbeitrag von meinem unten angegebenen Konto abbucht. Mit der Datenübermittlung an das oben genannte Kreditinstitut bin ich einverstanden. Einen eventuell bestehenden Dauerauftrag habe ich bei meiner Bank gelöscht.

Bankbezeichnung: _____

BLZ: _____ Konto-Nr.: _____

Datum: _____ Unterschrift: _____